

# STP

Projekt 1 zadanie 23

Kacper Marchlewicz

$$G(s) = \frac{(s + 0.5)(s + 3.5)}{(s + 6)(s + 4)(s + 5)} = \frac{s^2 + 4s + 1.75}{s^3 + 15s^2 + 74s + 120}$$

## 1. Modele ciągłe w przestrzeni stanu

Korzystając z komendy '[A,B,C,D] = tf2ss([1 4 1.75],[1 15 74 120])'

w Matlab wyznaczyłem macierze potrzebne do zapisania pierwszego modelu ciągłego.

Następnie na jego podstawie na kartce metodą bezpośrednią

( $A_2 = A_1^T, B_2 = C_1^T, C_2 = B_1^T, D_2 = D_1^T$ ) obliczyłem równania kolejnego modelu.

Pierwszy model ciągły (model A):

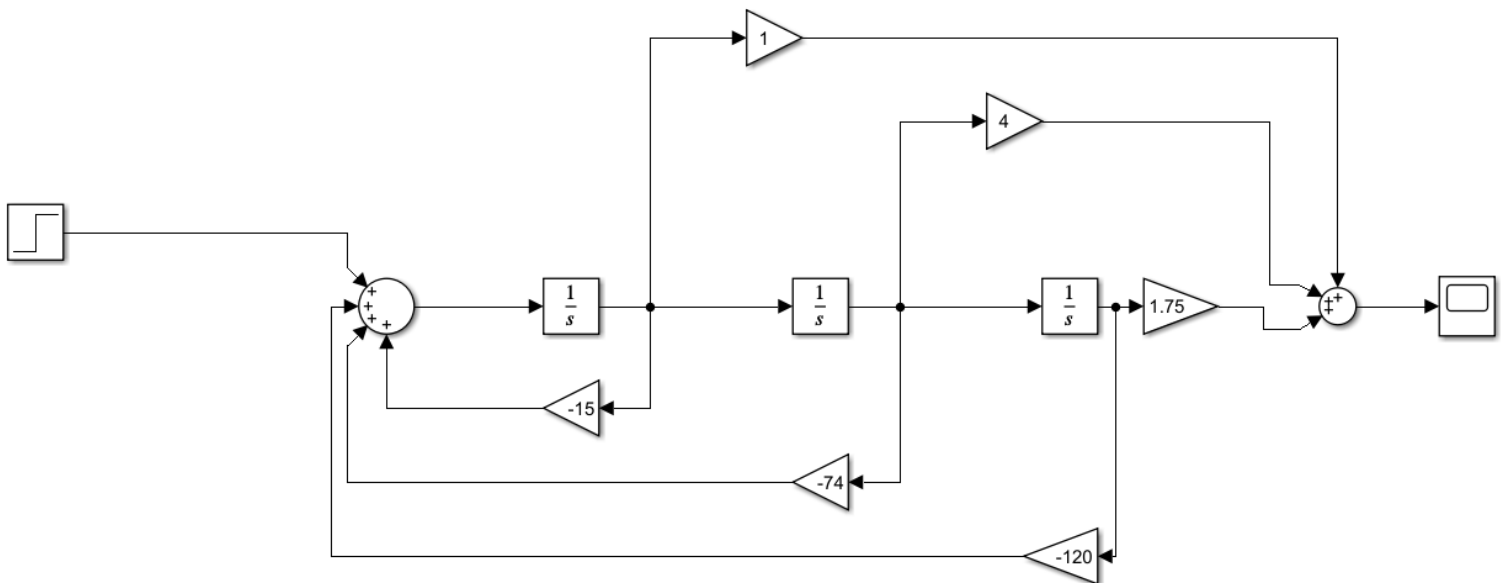
$$\dot{x}_1(t) = -15x_1(t) - 74x_2(t) - 120x_3(t) + u(t)$$

$$\dot{x}_2(t) = x_1(t)$$

$$\dot{x}_3(t) = x_2(t)$$

$$y(t) = x_1(t) + 4x_2(t) + 1.75x_3(t)$$

Reprezentacja graficzna:



Drugi model ciągły (model B):

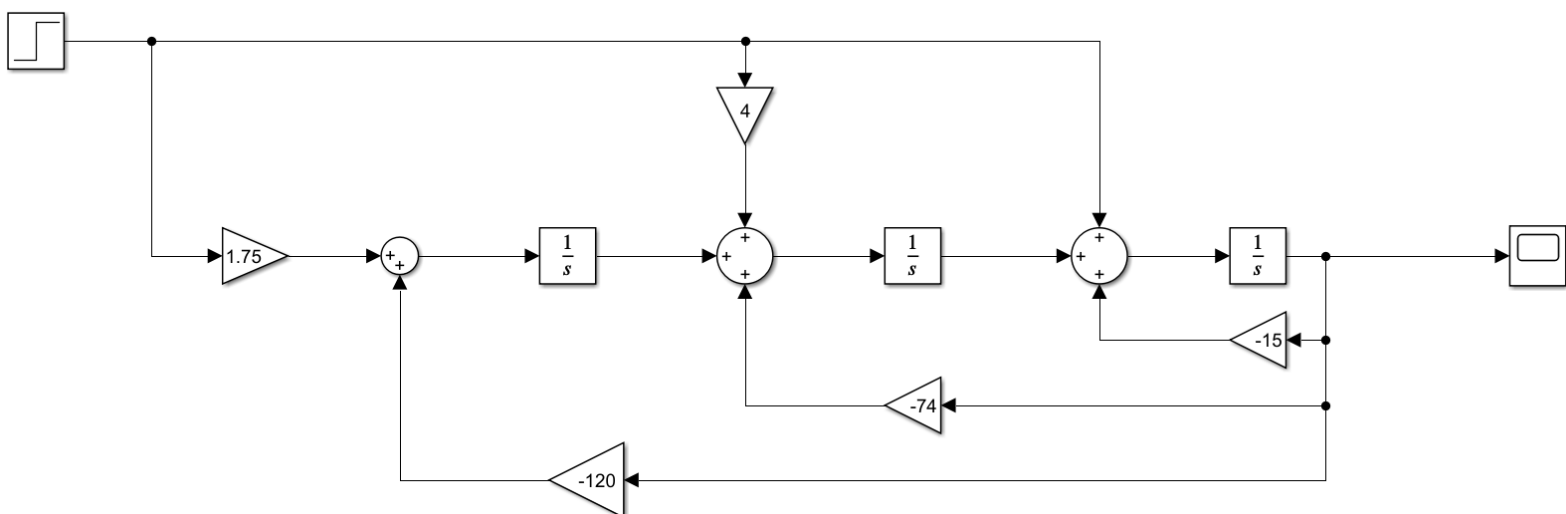
$$\dot{x}_1(t) = -15x_1(t) + x_2(t) + u(t)$$

$$\dot{x}_2(t) = -74x_1(t) + x_3(t) + 4u(t)$$

$$\dot{x}_3(t) = -120x_1(t) + 1.75u(t)$$

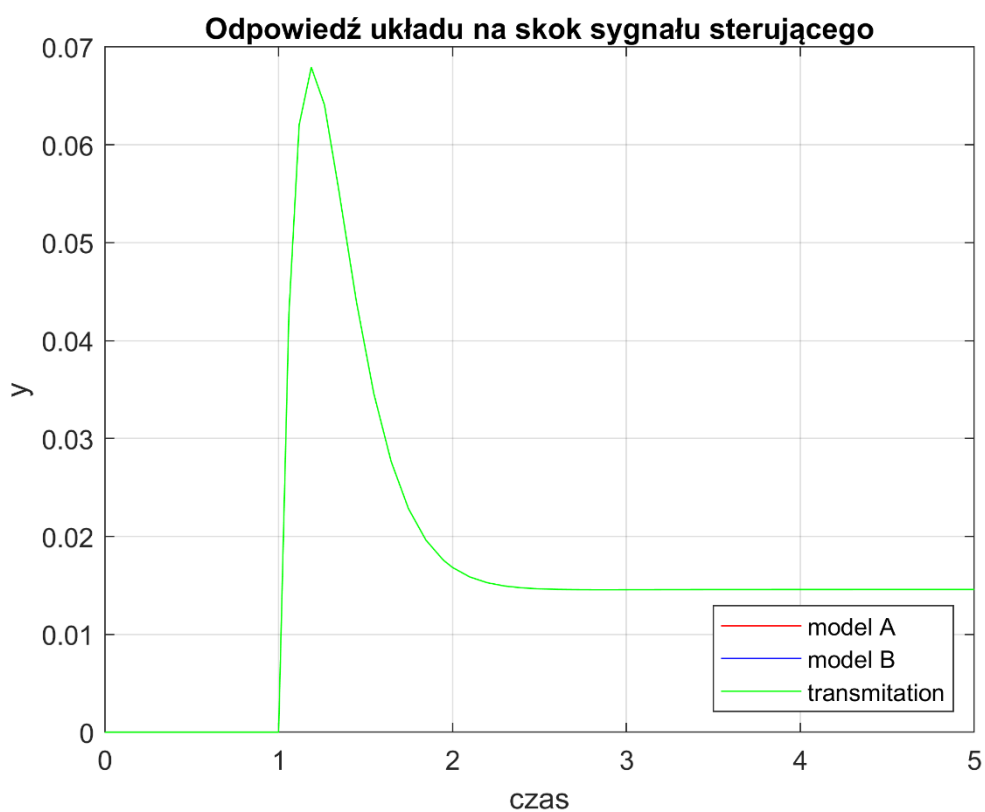
$$y(t) = x_1(t)$$

Reprezentacja graficzna:



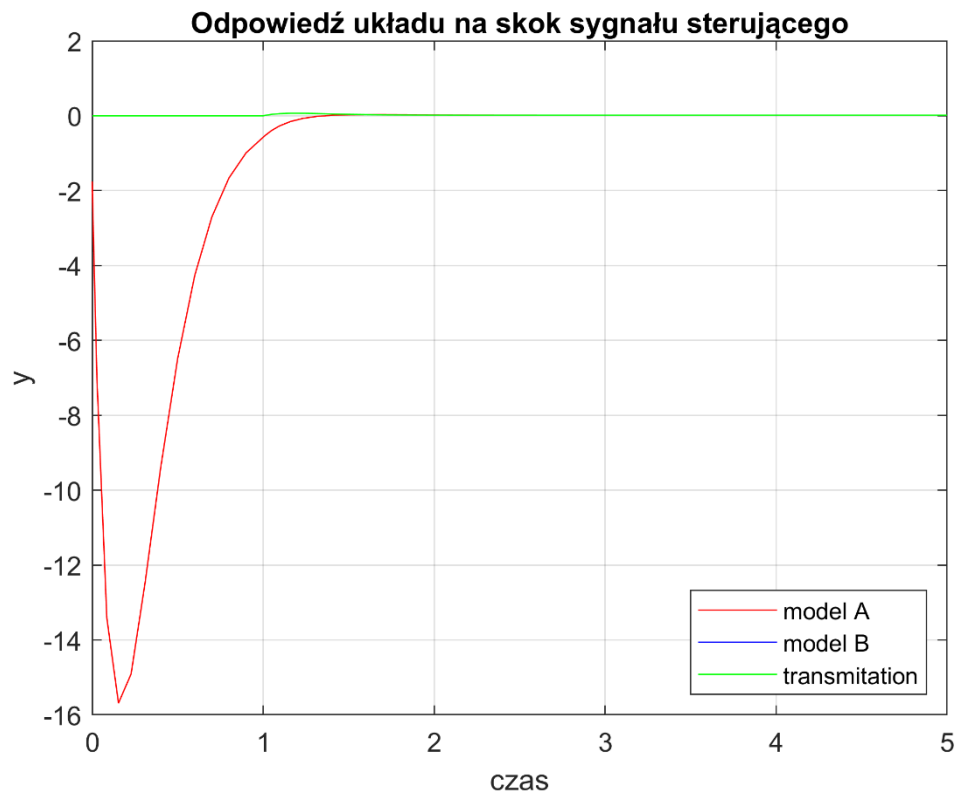
## 2. Odpowiedź skokowa w przestrzeni stanu

Zerowe warunki początkowe:



Niezerowe warunki początkowe:

$$X = [1 \ -2 \ 3]$$



Jak widać model A jest bardziej podatny na skok sygnału przy niezerowych wartościach. Wynika to z jego większej zależności  $y$  od  $x_1, x_2, x_3$ .

### 3. Wartości elementu wektora K

Korzystając z równania charakterystycznego ( $\det(sI - A + B \cdot K) = 0$ ,  $(s - s_b) \cdot (s - s_b) = 0$ ) układu zamkniętego obliczyłem następujące wartości wektora K:

$$k_1 = -3s_b - 15$$

$$k_2 = 3s_b^2 - 74$$

$$k_3 = -3s_b^3 - 120$$

Numeryczne wyniki otrzymane komendą  $k = \text{acker}(A, B, p)$ , gdzie A i B to macierze modelu, a  $p = [s_b \ s_b \ s_b]$ .

Dla  $s_b = 0$

$$K = [-15 \ -74 \ -120]$$

Dla  $s_b = -0.4$

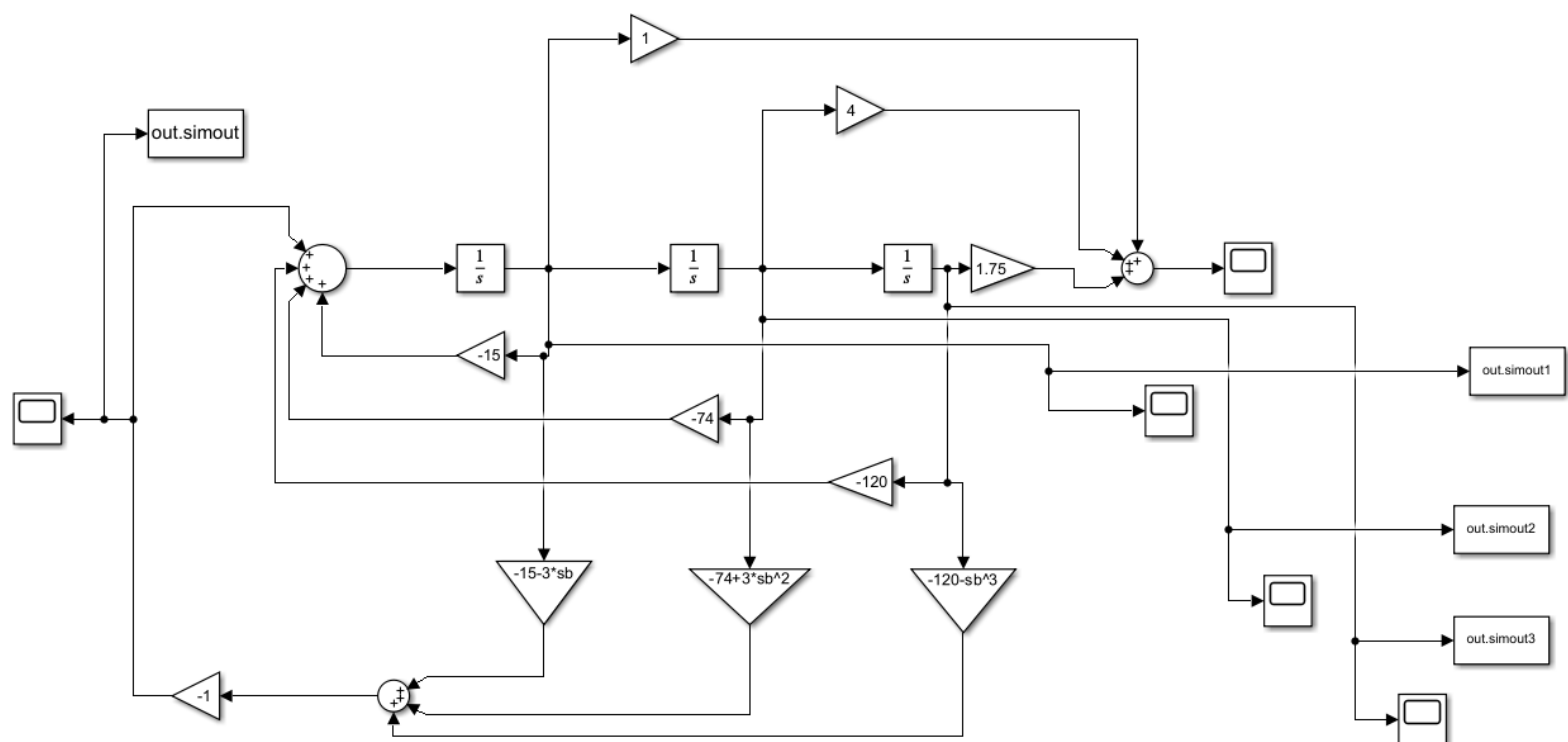
$$K = [-13.8 \ -73.52 \ -119.936]$$

Dla  $s_b = -5$

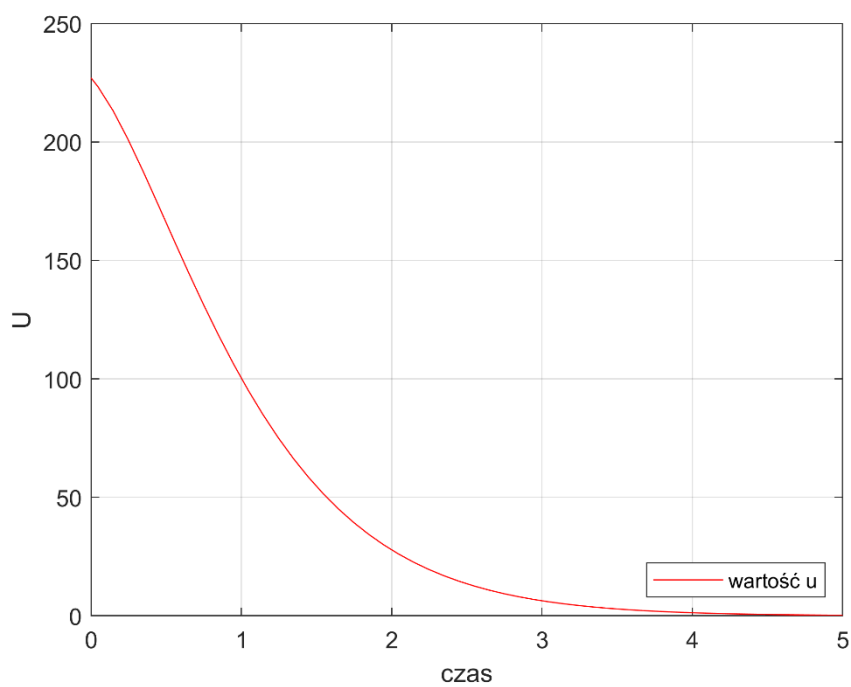
$$K = [0 \ 1 \ 5]$$

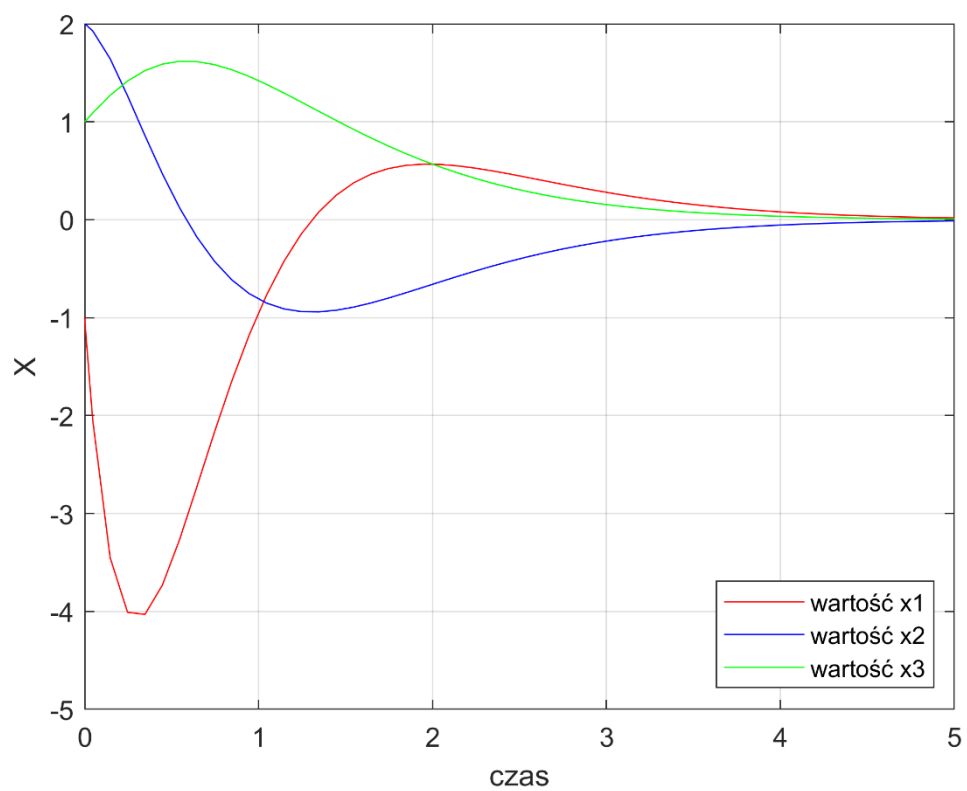
### 4. Symulacja obiektu z regulatorem ze sprzężeniem od stanu

Reprezentacja graficzna:

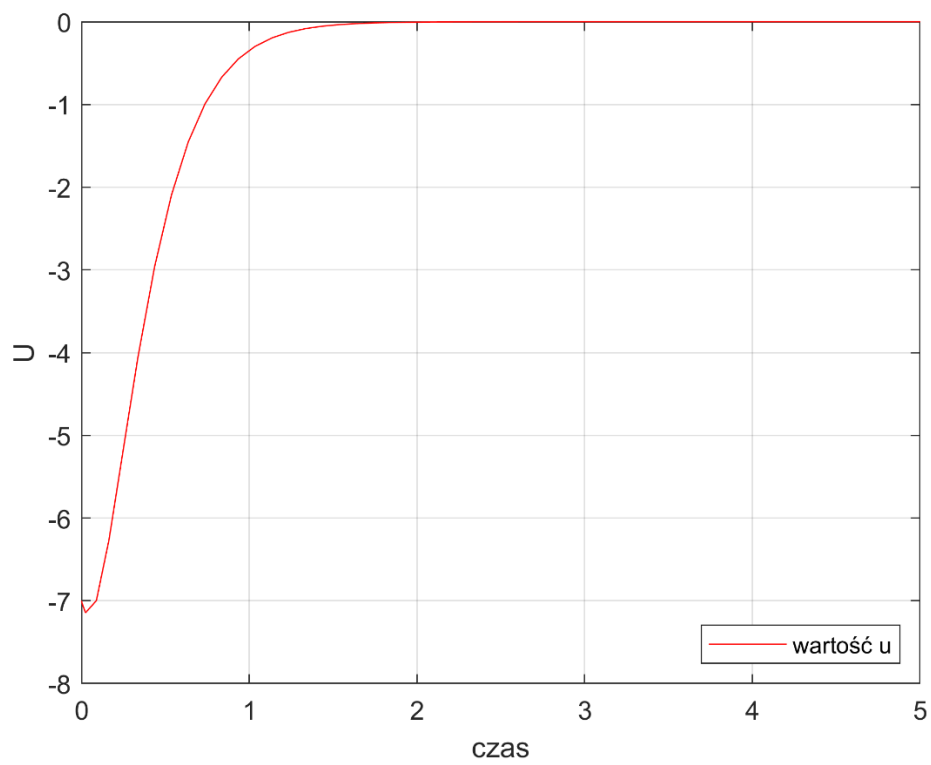


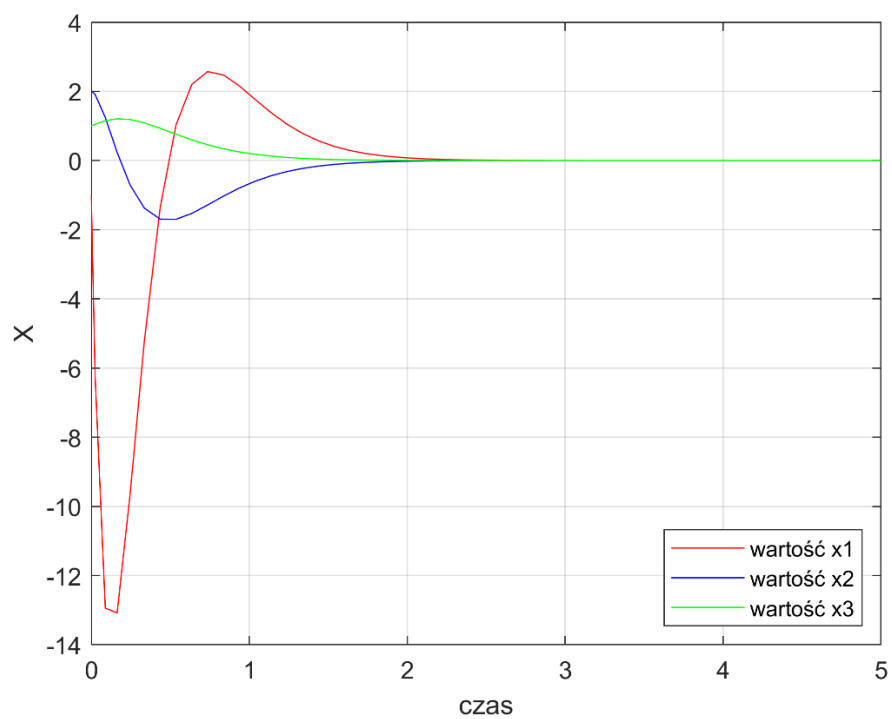
Dla  $s_b = -2$ :



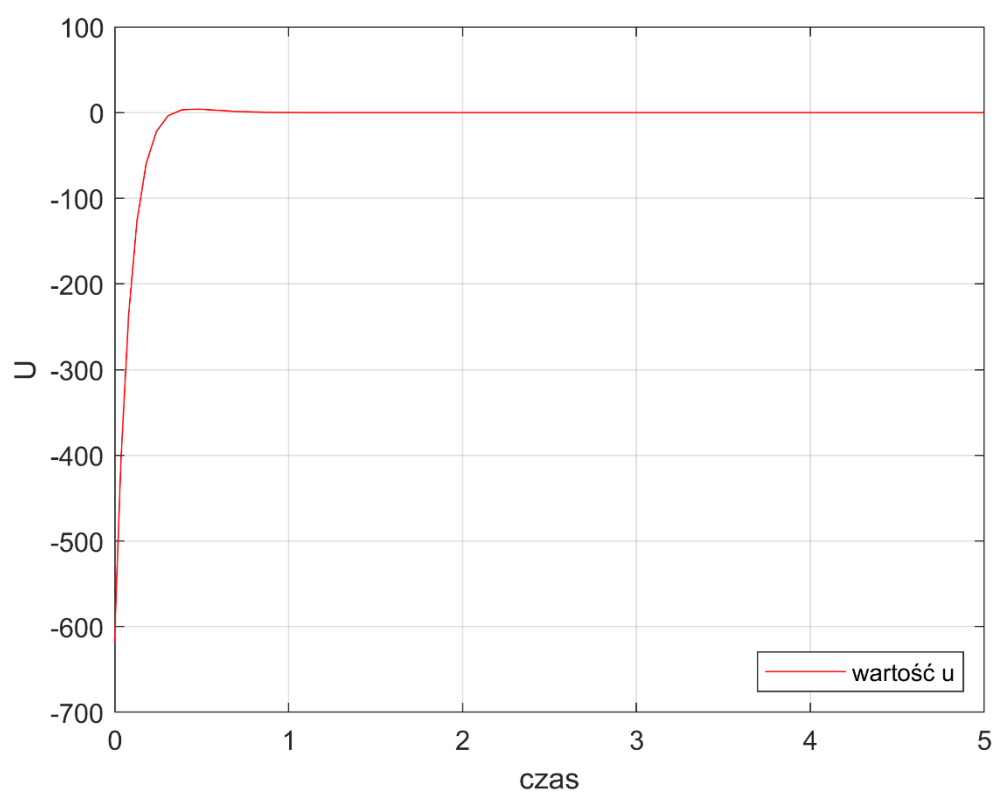


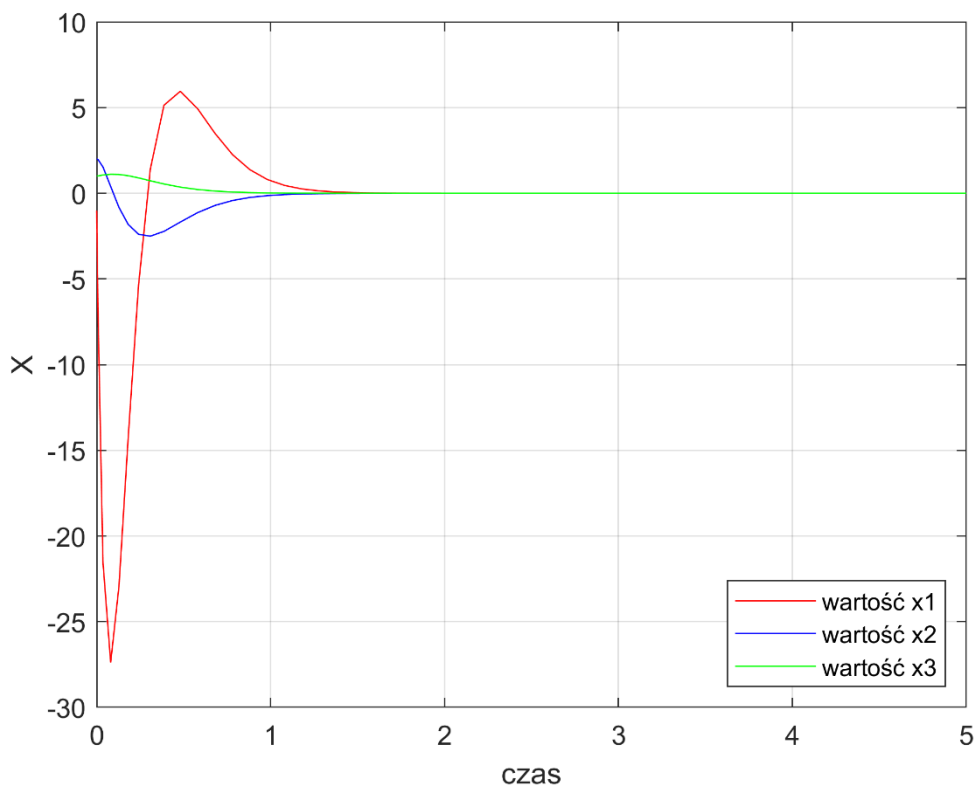
Dla  $s_b = -5$





Dla  $s_b = -8$





Czas końcowy dla badanych biegunów wynosił 2.5 sekundy. Do dalszych działań zdecydowałem się na regulator o biegunie -5, gdyż zapewnia on kompromis między szybkością, a skokiem sygnału sterującego.

## 5. Obserwator pełnego rzędu

Na podstawie równania charakterystycznego obserwatora, za pomocą Matlab (bezpośrednio porównałem współczynniki  $\det((sI - A + l'C))$  i  $(s - s_0)^3$ ) udało mi się wyznaczyć wektor  $L$ . Z uwagi na złożoność i obszerność wzorów nie wstawiłem ich do poniższych równań. Dla upewnienia się czy wzory są poprawne porównałem je numerycznie z wynikami komendy  $\text{acker}(A', C', p)$ , gdzie  $A$  i  $C$  to macierze modelu.

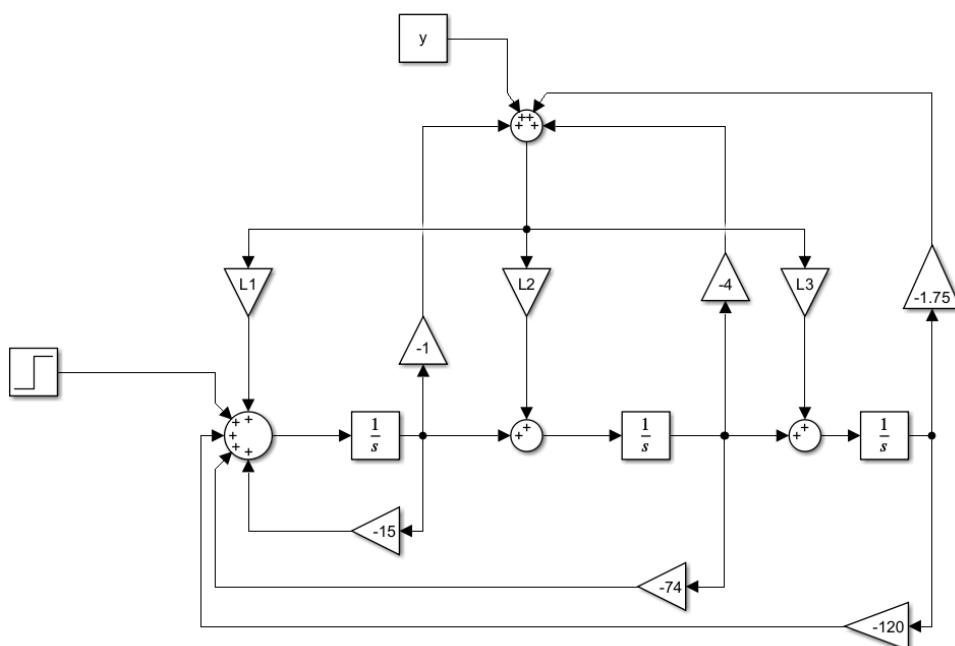
Struktura obserwatora:

$$\frac{d\hat{x}_1(t)}{dt} = -15\hat{x}_1(t) - 74\hat{x}_2(t) - 120\hat{x}_3(t) + u(t) + l_1(y(t) - \hat{x}_1(t) - 4\hat{x}_2(t) - 1.75\hat{x}_3(t))$$

$$\frac{d\hat{x}_2(t)}{dt} = \hat{x}_1(t) + l_2(y(t) - \hat{x}_1(t) - 4\hat{x}_2(t) - 1.75\hat{x}_3(t))$$

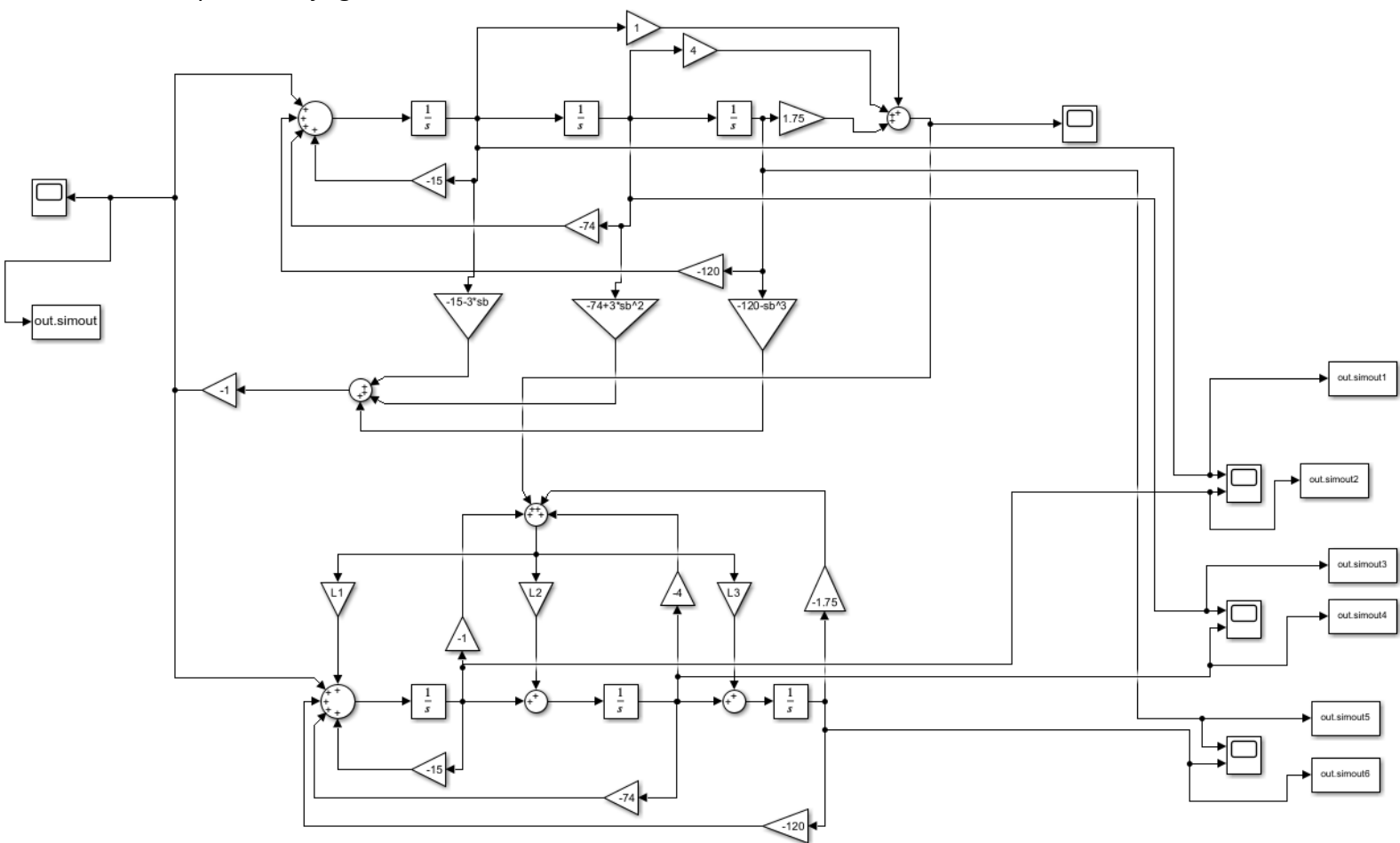
$$\frac{d\hat{x}_3(t)}{dt} = \hat{x}_2(t) + l_3(y(t) - \hat{x}_1(t) - 4\hat{x}_2(t) - 1.75\hat{x}_3(t))$$

Reprezentacja graficzna:



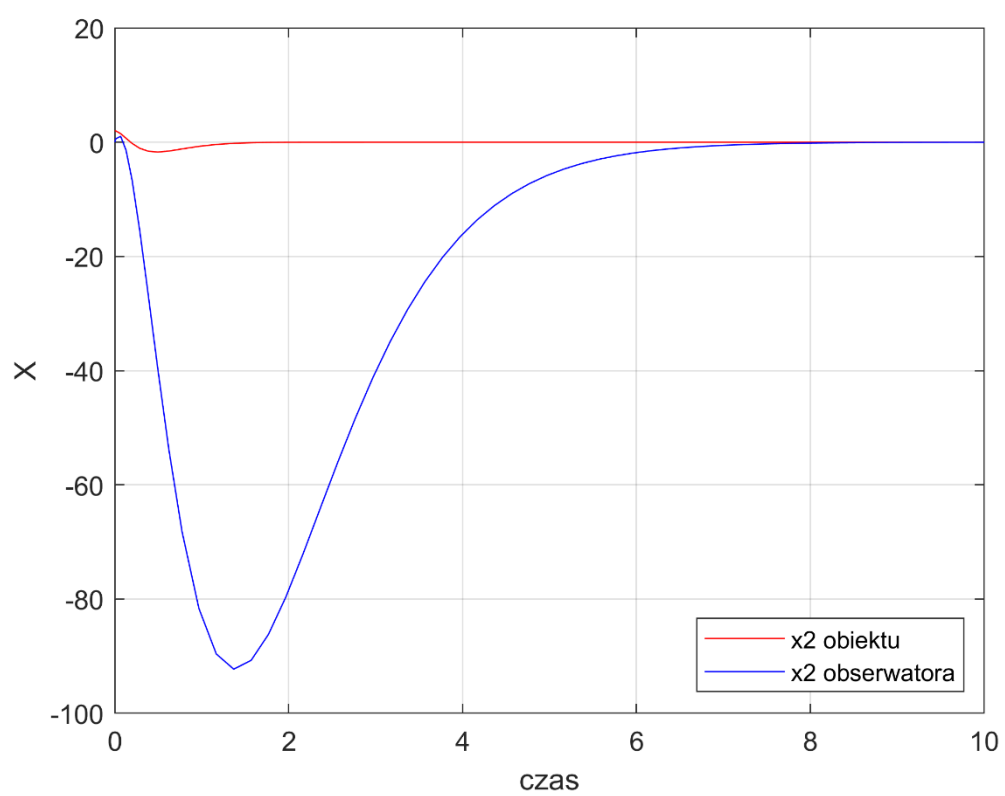
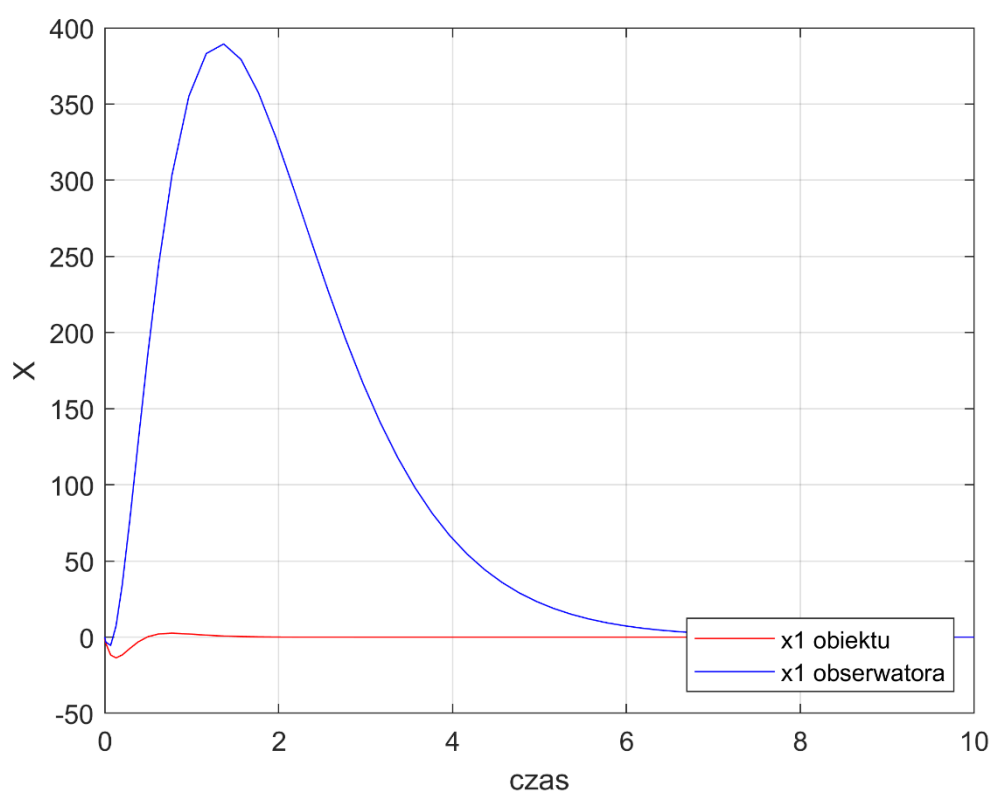
## 6. Działanie obserwatora przy regulatorze korzystającym z mierzonego stanu

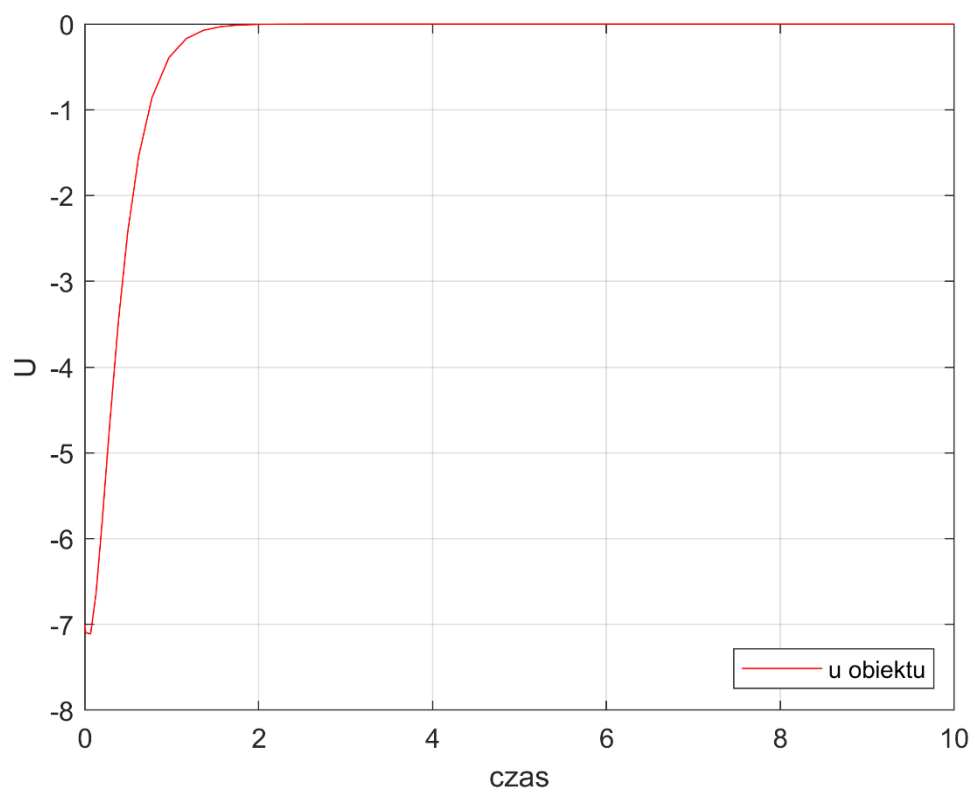
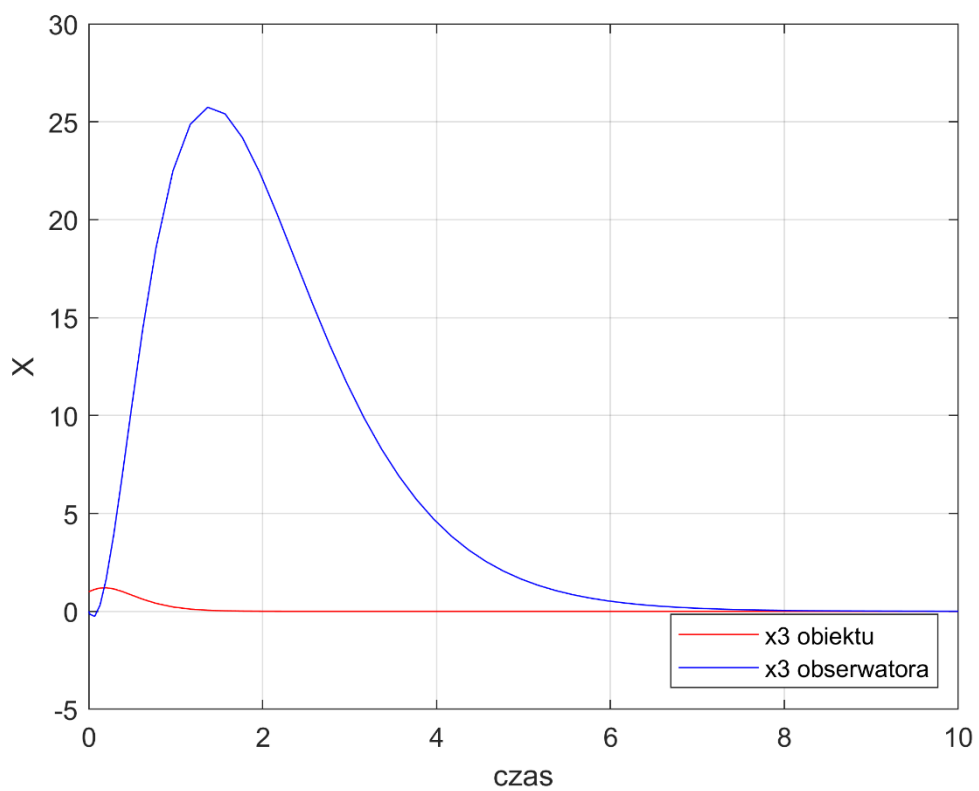
Reprezentacja graficzna:



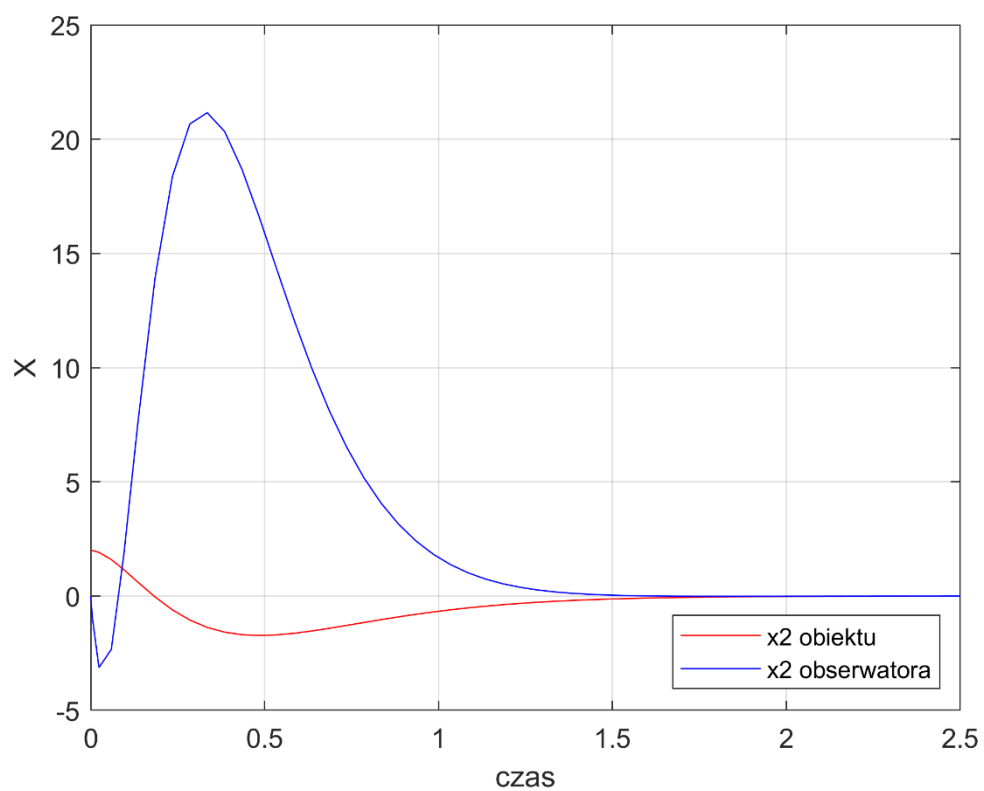
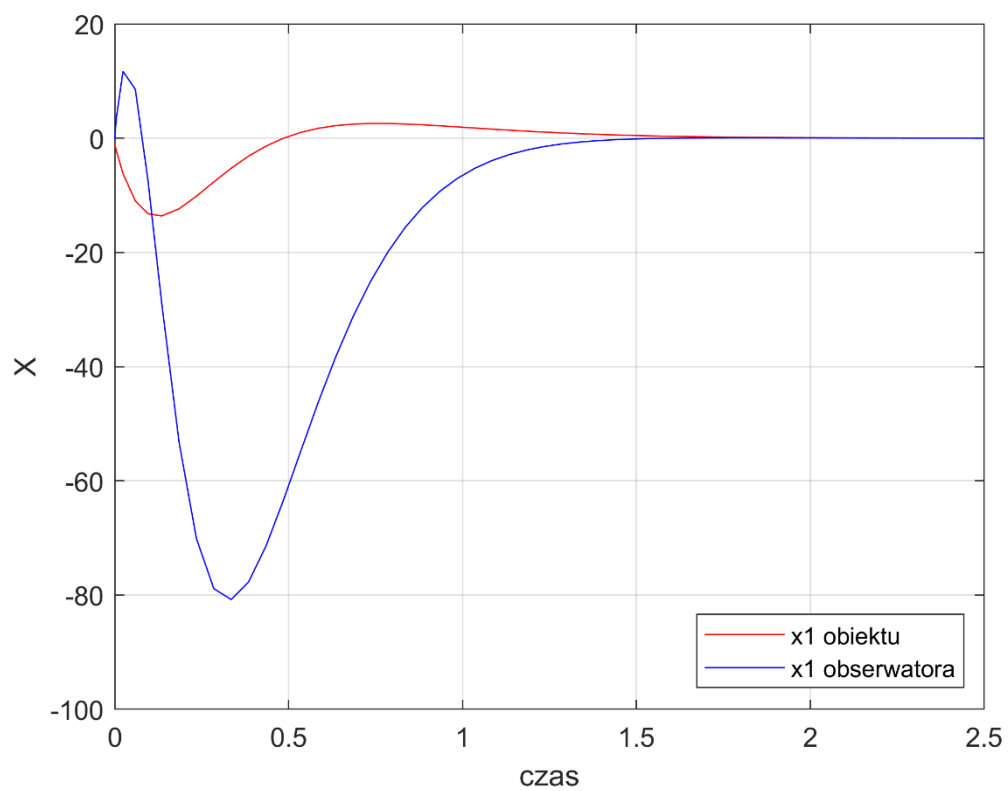


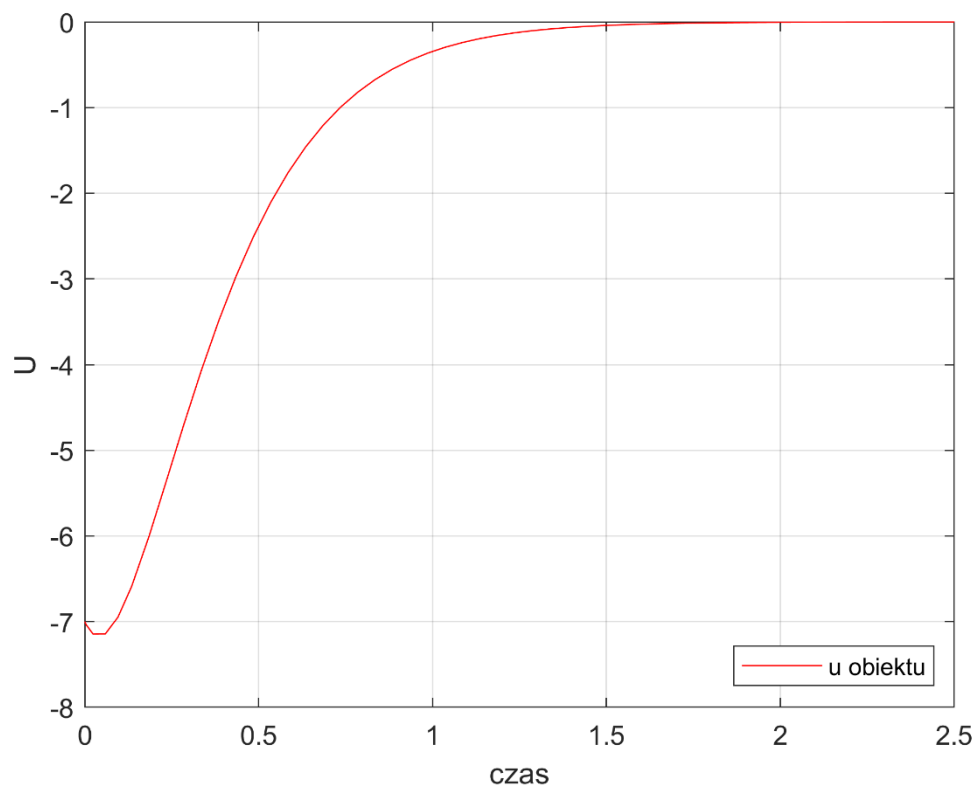
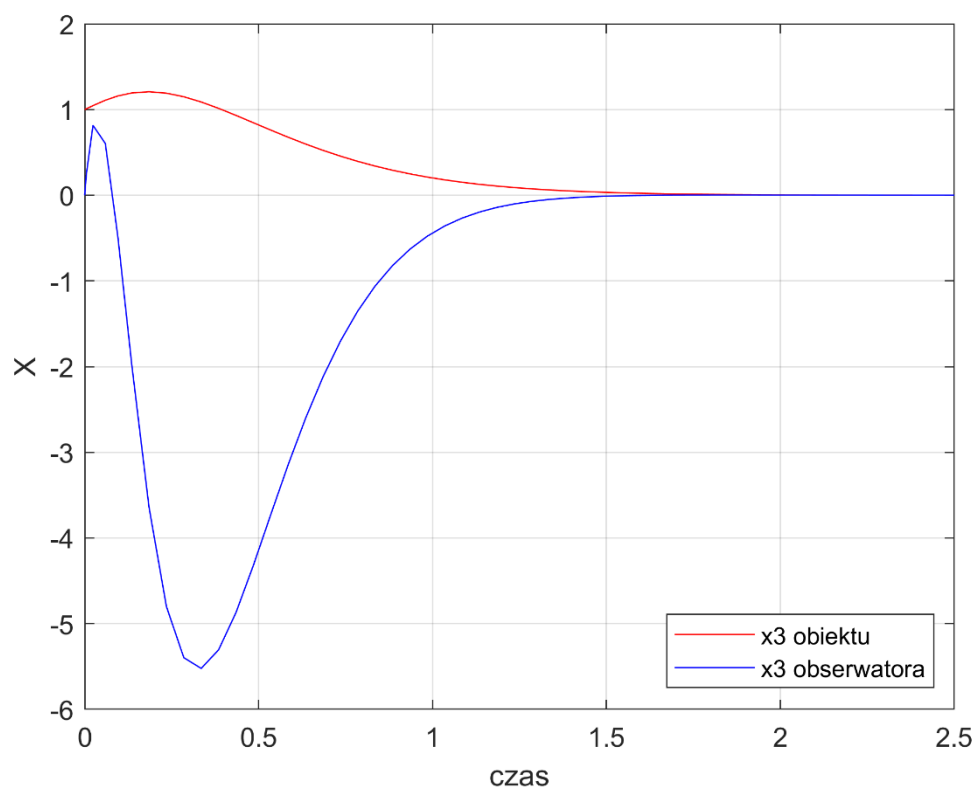
Biegun wolny  $s_o = -1.5$



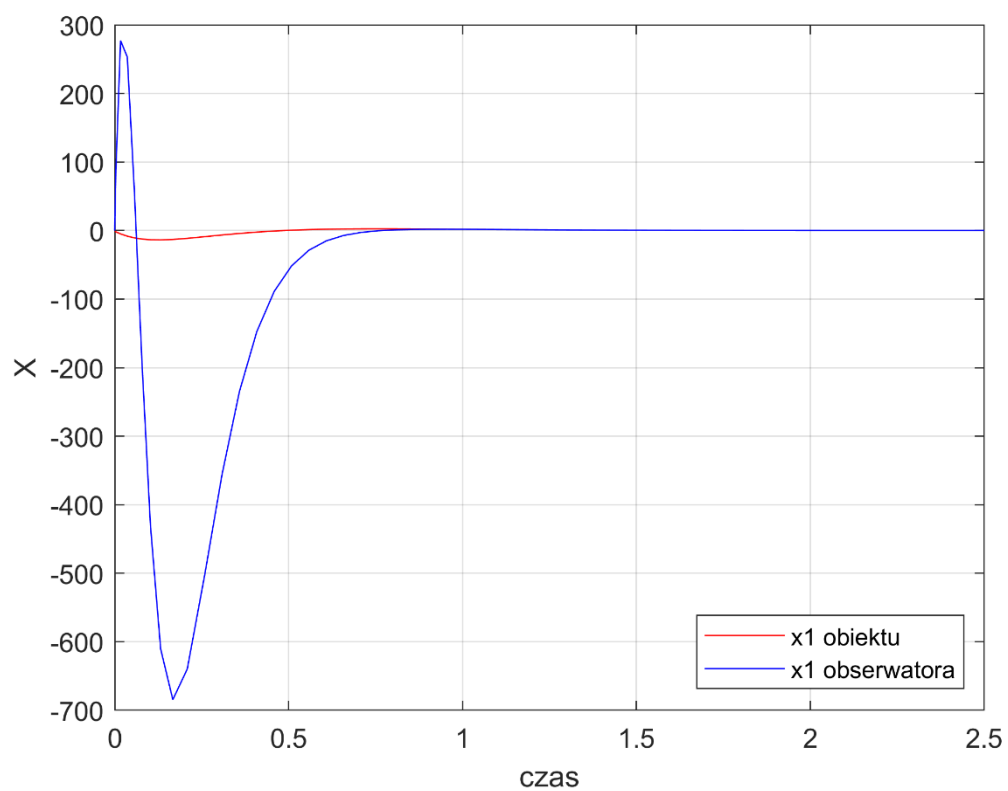
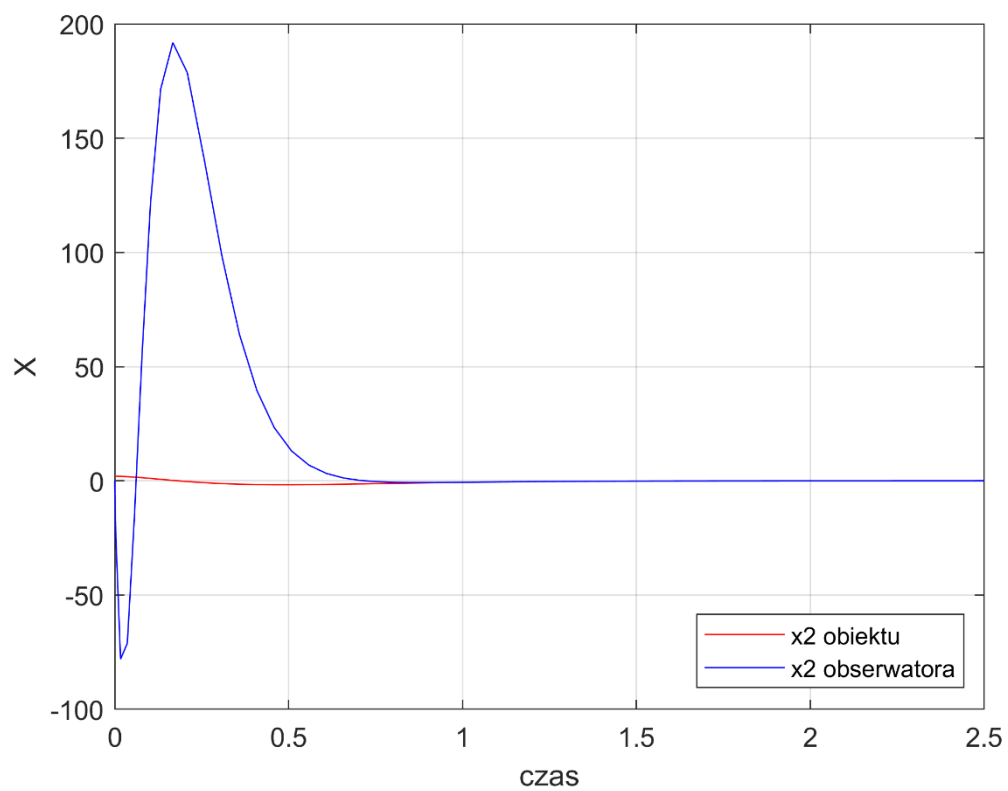


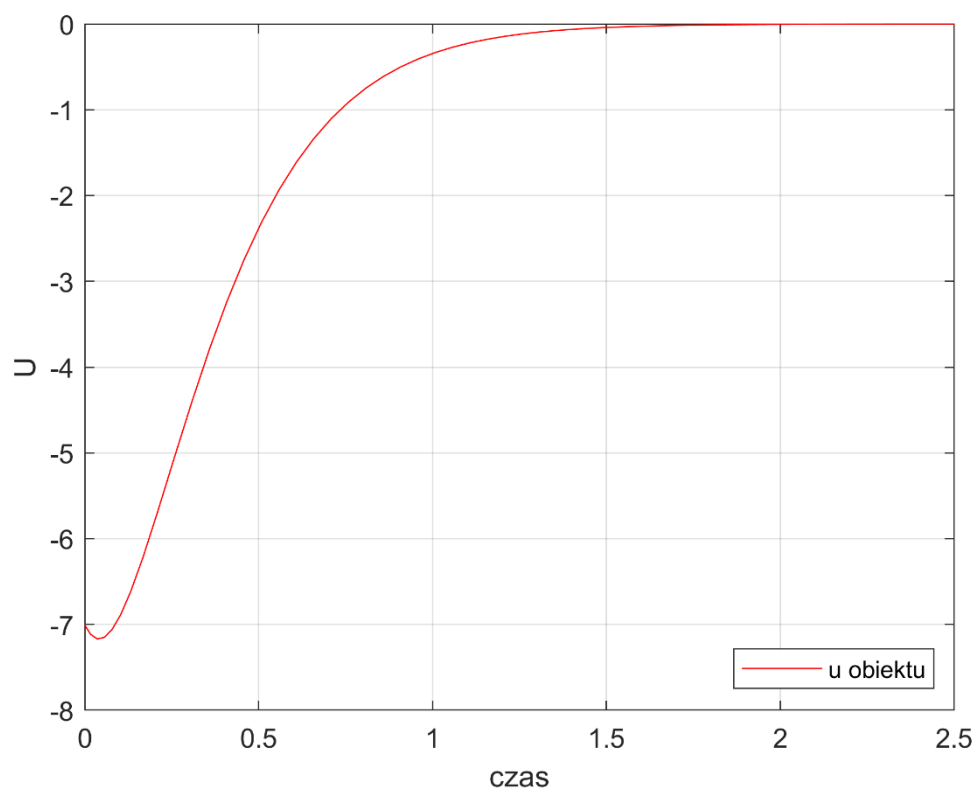
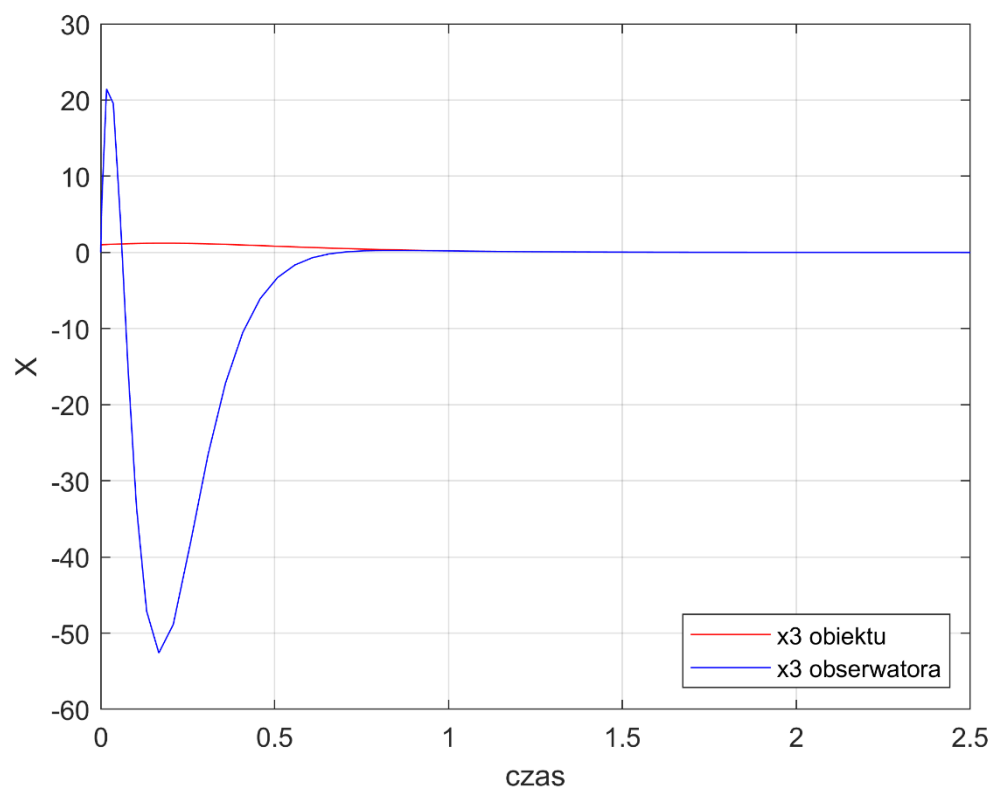
Biegun średni  $s_o = -7$





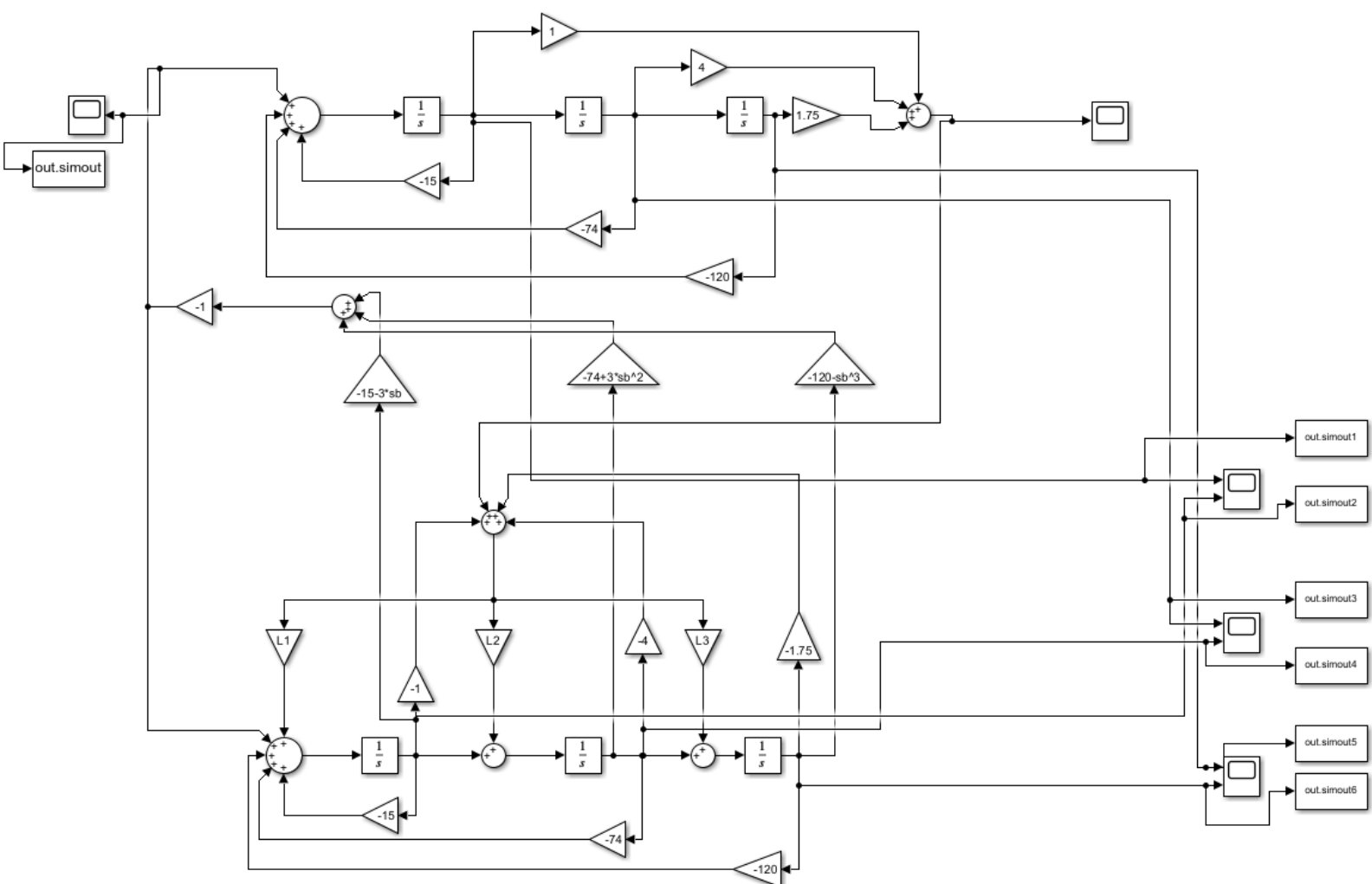
Biegun szybki  $s_o = -15$



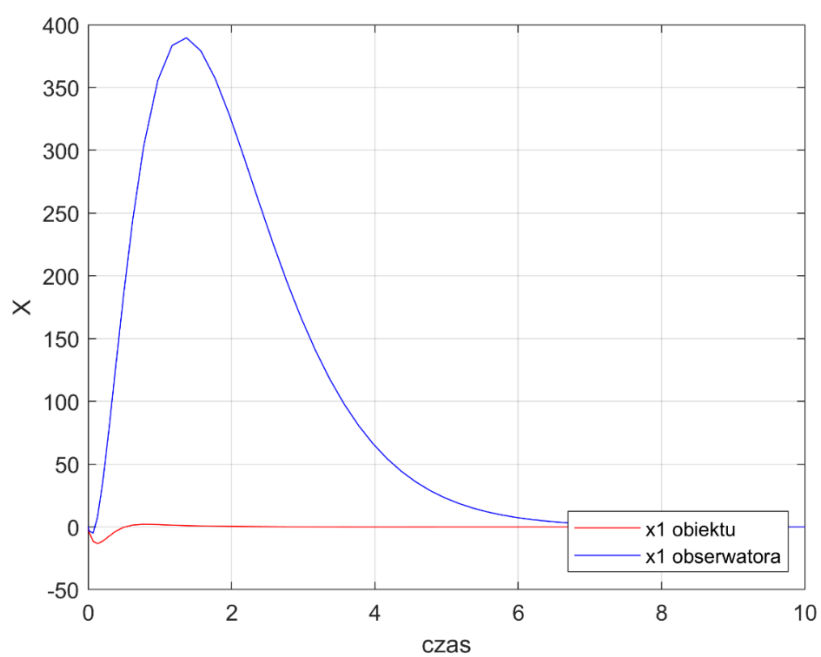


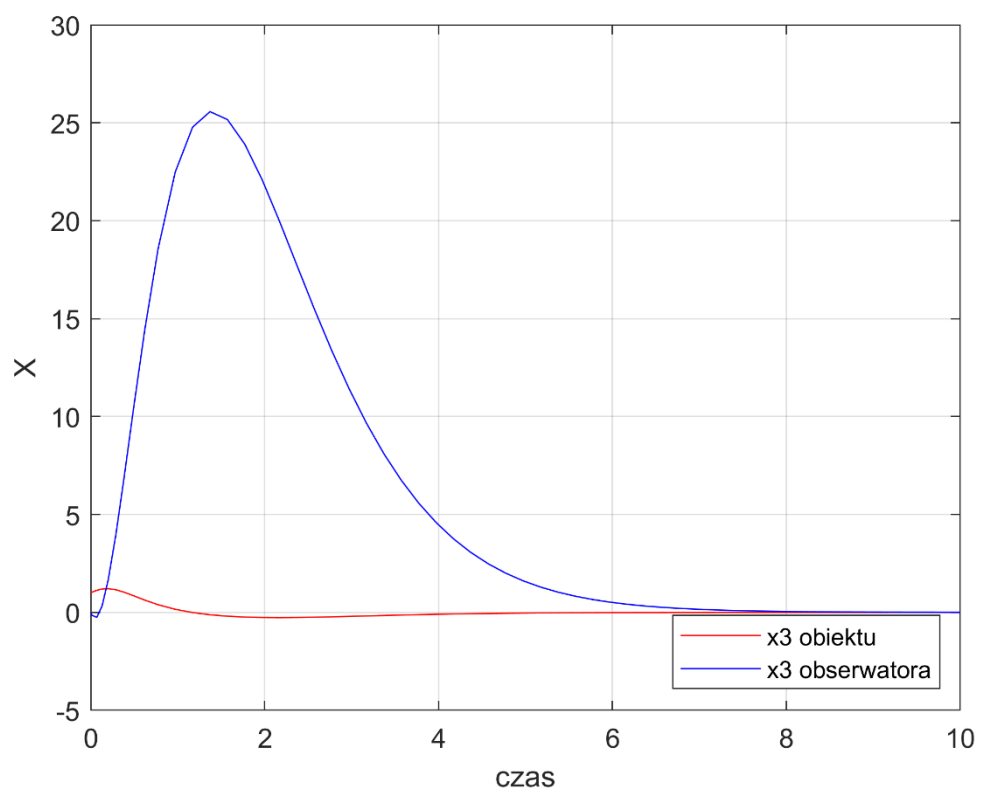
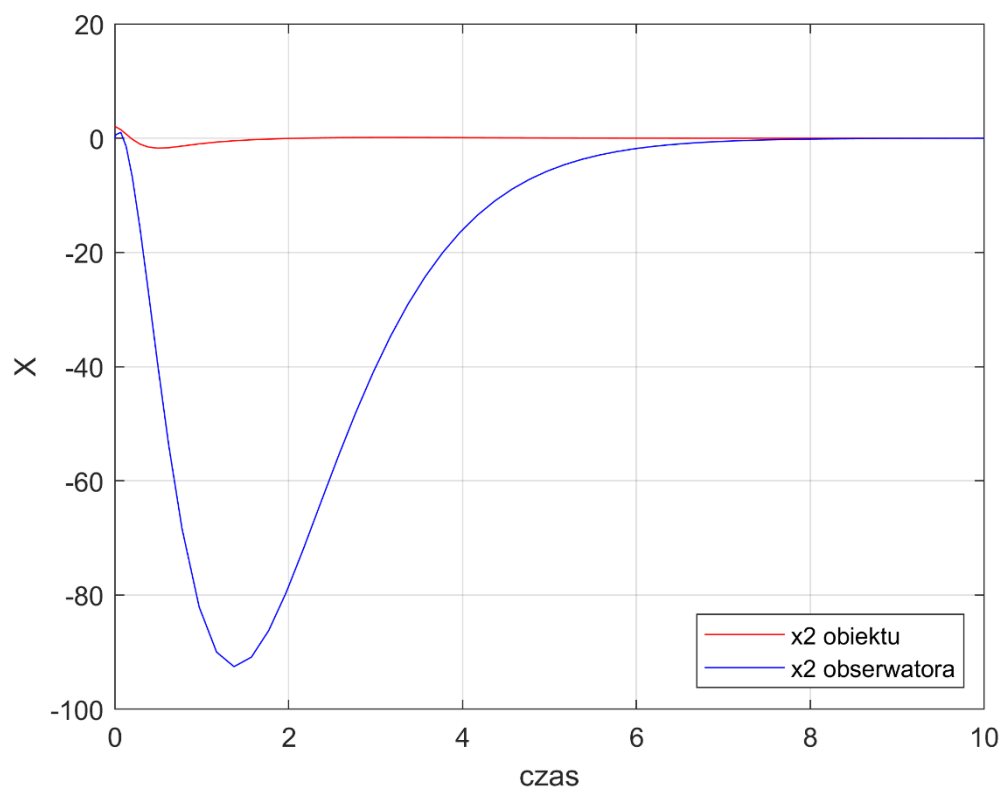
Jak widać, zależnie od bieguną, obserwator nadąża za zmianami wartości  $x$  w różnym czasie.

## 7.Działanie regulatora przy braku pomiaru zmiennych stanu

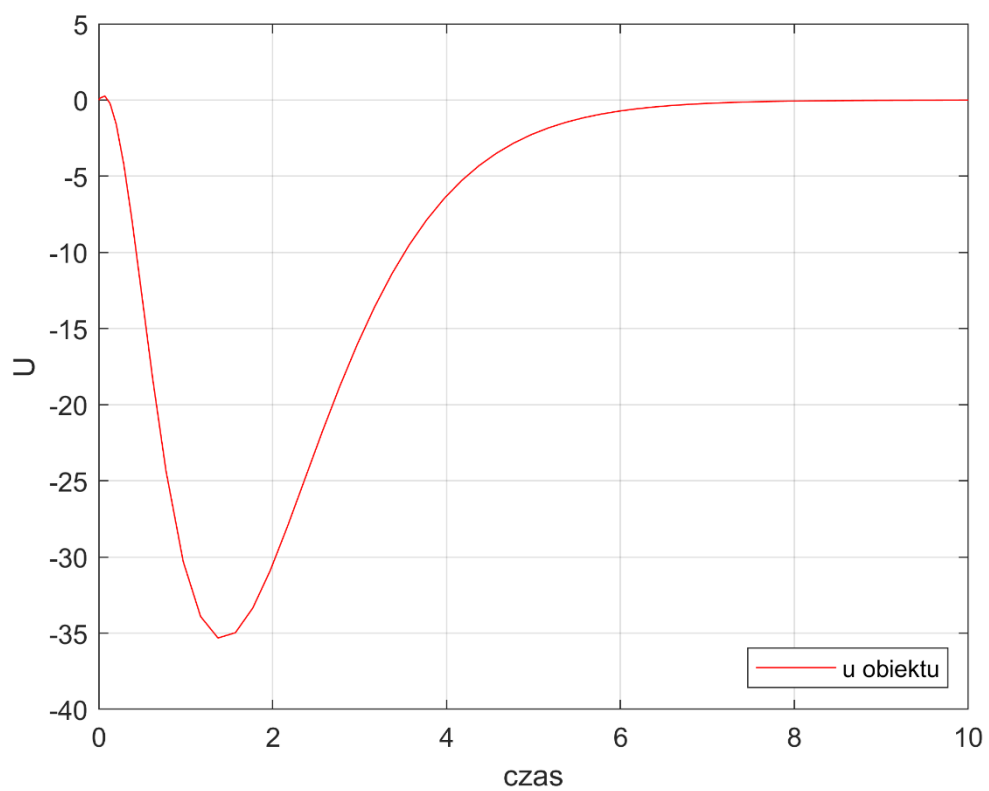


Biegun wolny  $s_0 = -1.5$

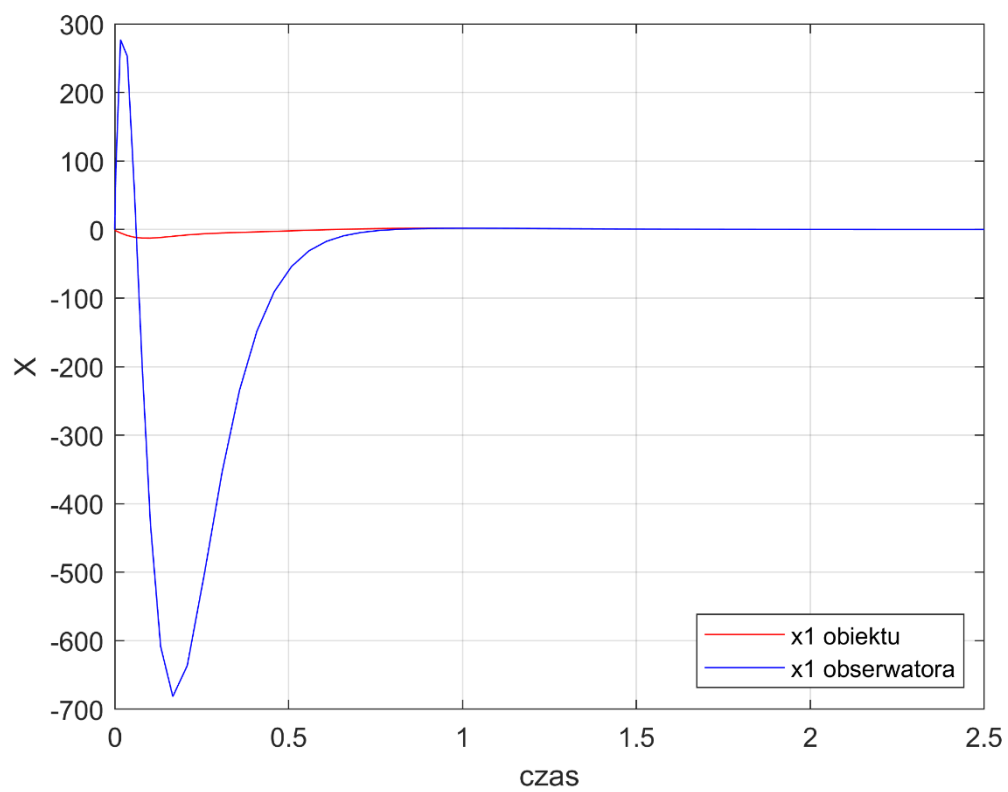


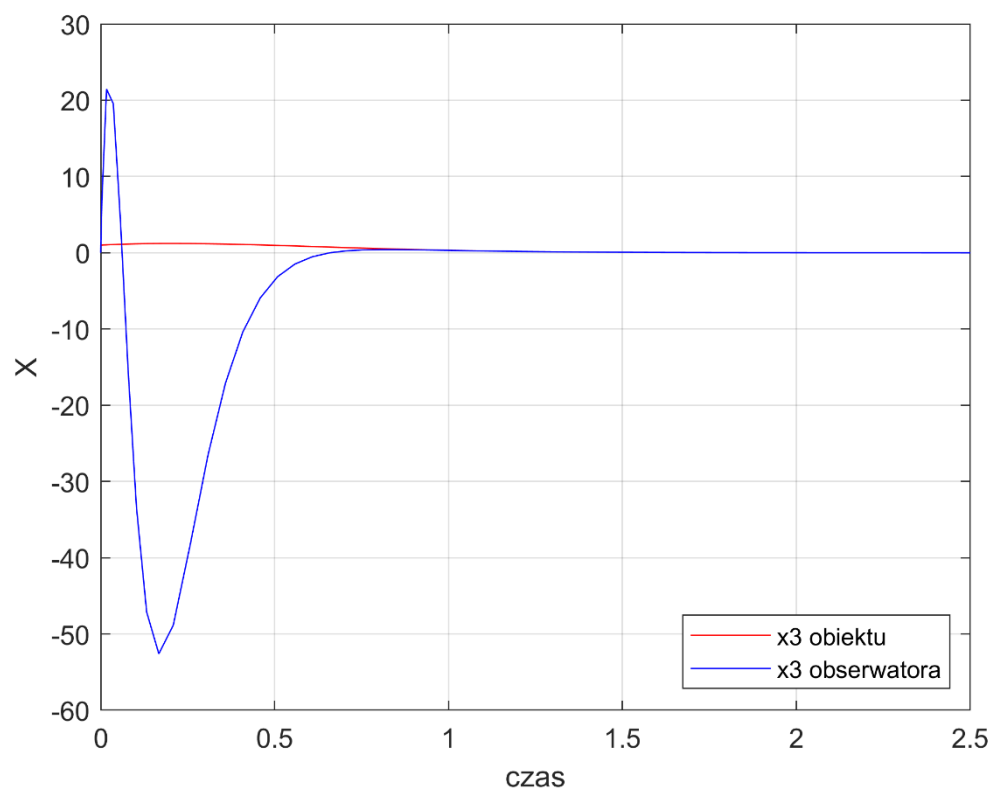
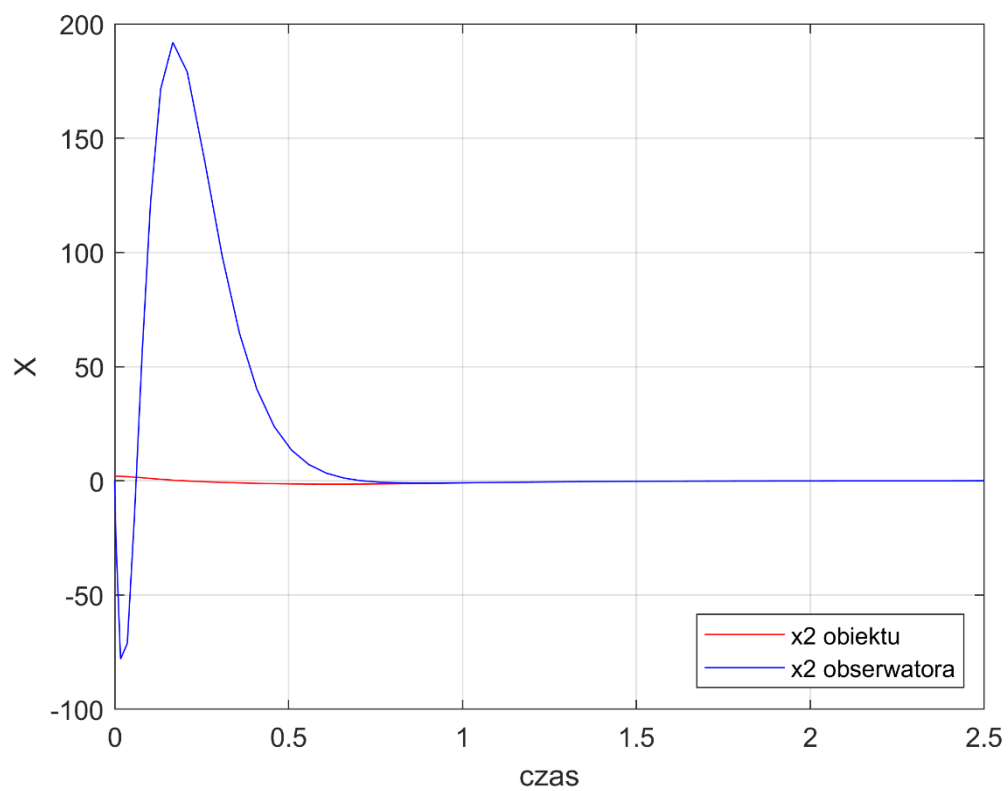


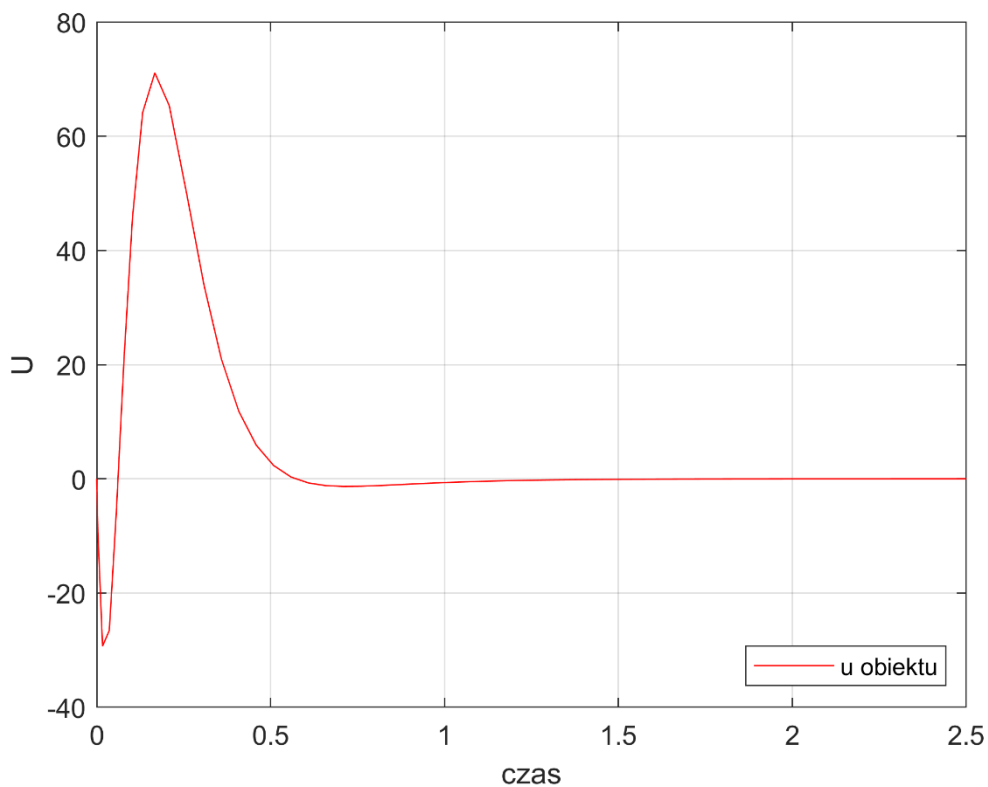




Biegun szybki  $s_o = -15$







Regulator wykorzystujący stan obserwowany zadziałał wolniej niż korzystający z mierzonego stanu. Stało się tak, gdyż zmiany wartości zmiennych podawanych przez obserwator są opóźnione w stosunku do obiektu.

### Zadanie dodatkowe. Regulator ze sprzężeniem od stanu i całkowaniem

Wyzaczyłem następujące macierze potrzebne do równania stanu regulatora:

$$A_r = \begin{bmatrix} -15 & -74 & -120 & 0 \\ 1 & 0 & 0 & 0 \\ 0 & 1 & 0 & 0 \\ -1 & -4 & -1.75 & 0 \end{bmatrix}, \quad B_r = \begin{bmatrix} 1 \\ 0 \\ 0 \\ 0 \end{bmatrix}$$

Elementy wektora K wzmocnienia obliczyłem komendą acker.

Równanie stanu:

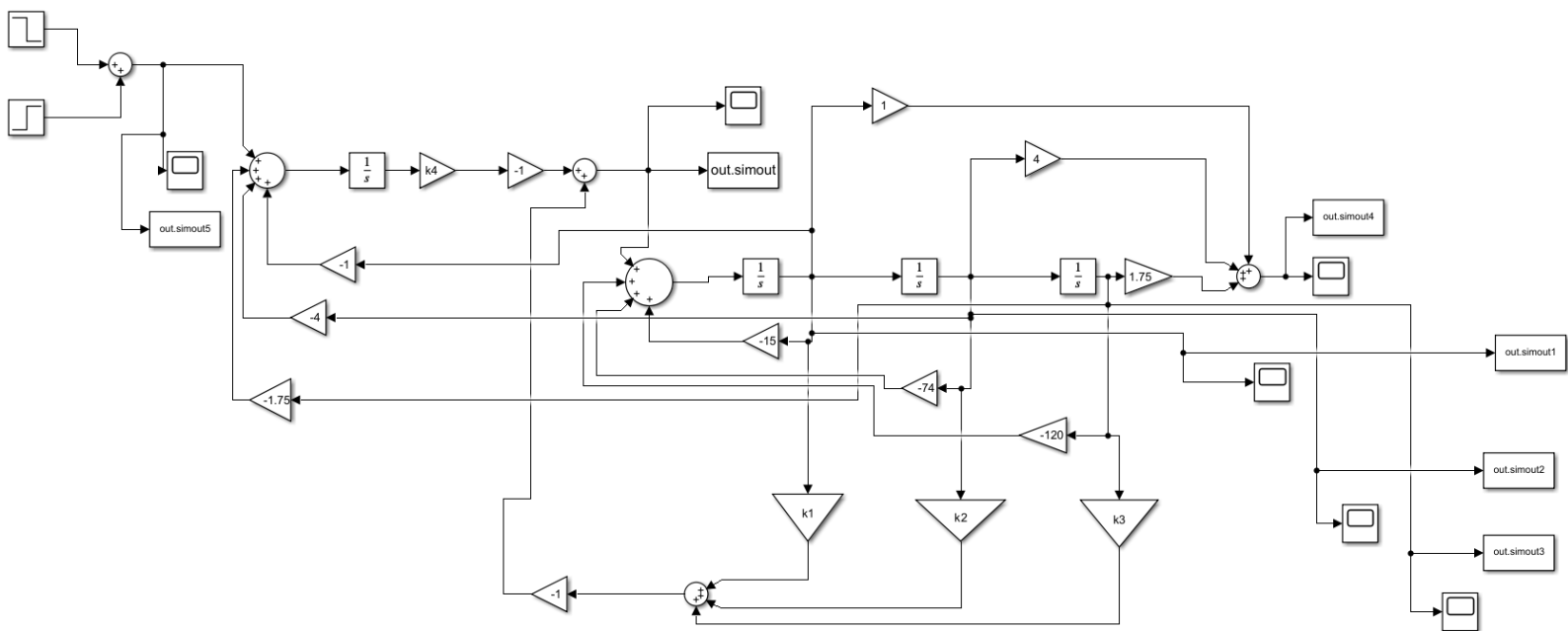
$$\dot{x}_1(t) = -15x_1(t) - 74x_2(t) - 120x_3(t) + u(t)$$

$$\dot{x}_2(t) = x_1(t)$$

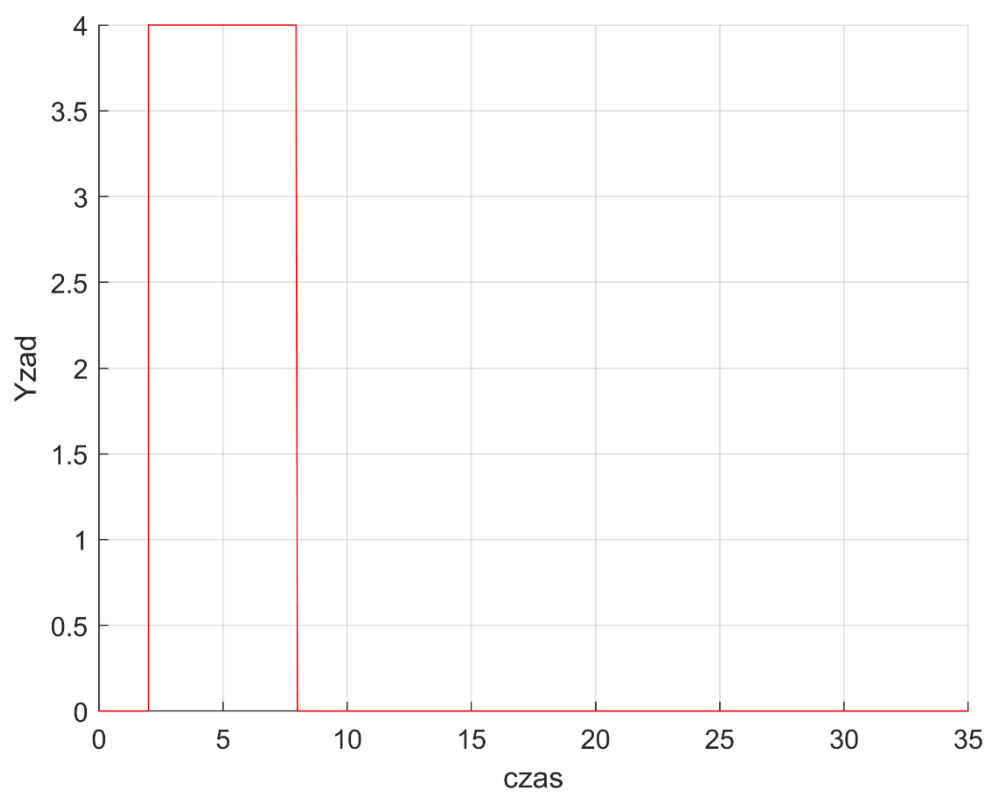
$$\dot{x}_3(t) = x_2(t)$$

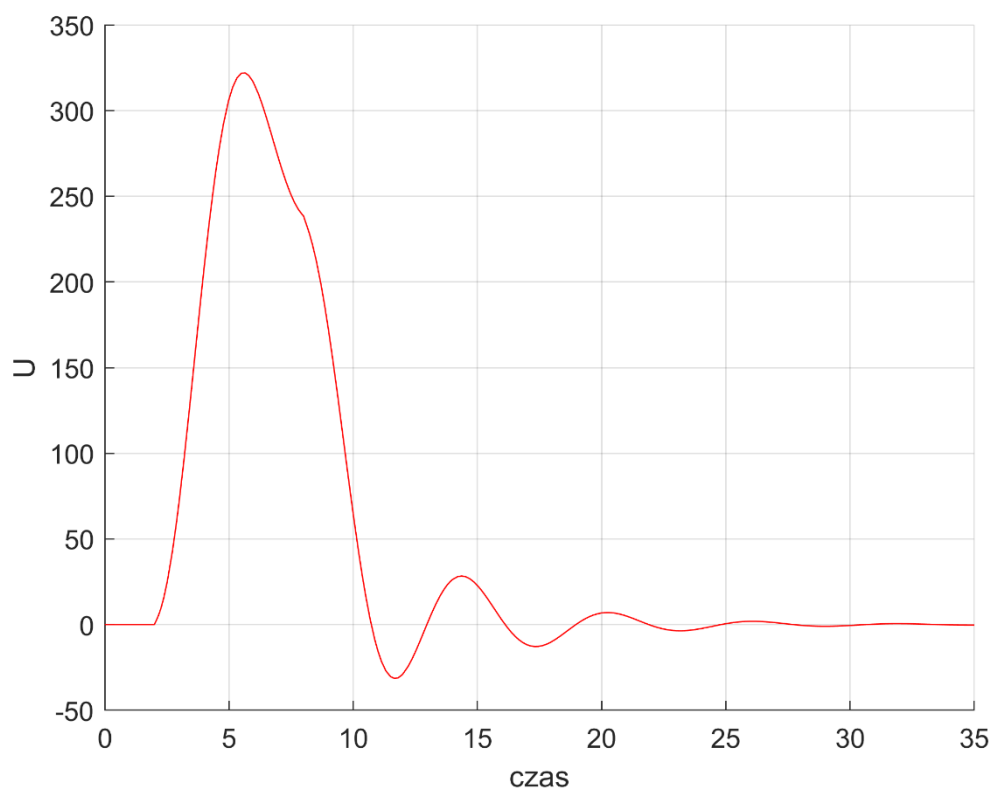
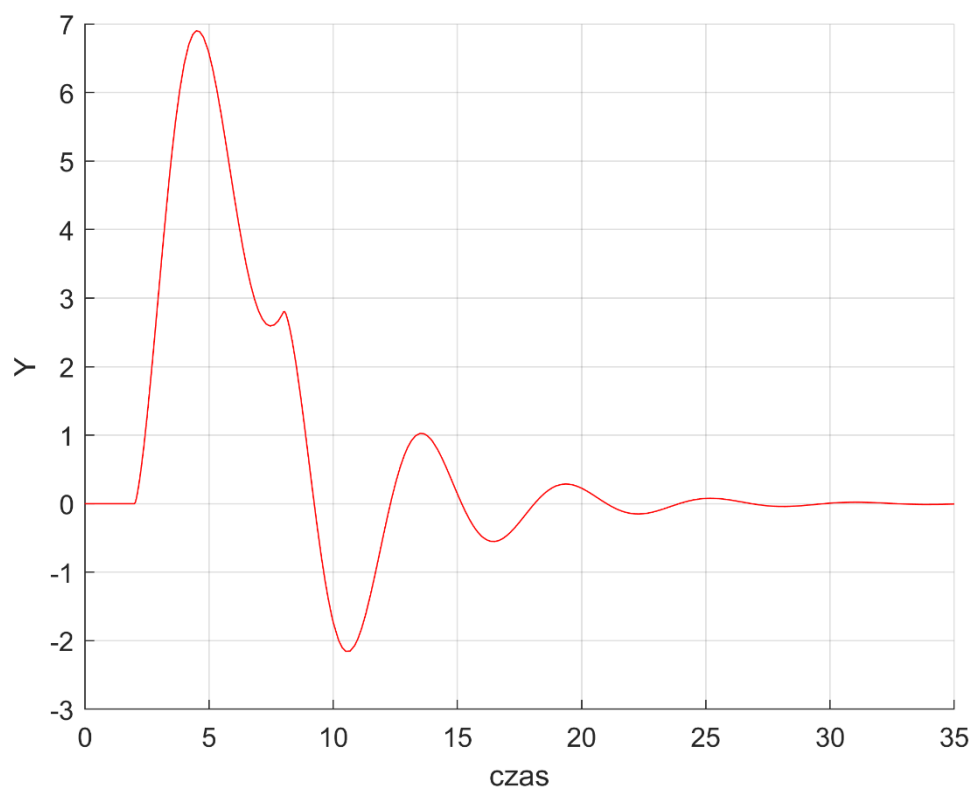
$$\dot{x}_e(t) = -1x_1(t) - 4x_2(t) - 1.75x_3(t) + y^{zad}(t)$$

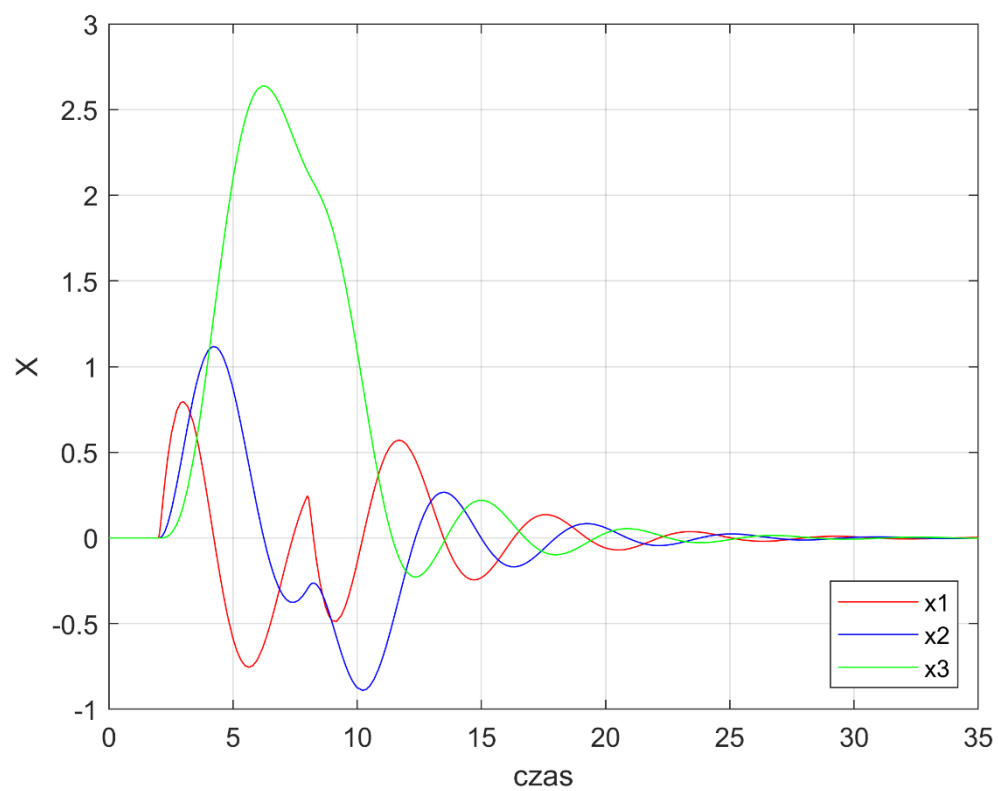
## Reprezentacja graficzna



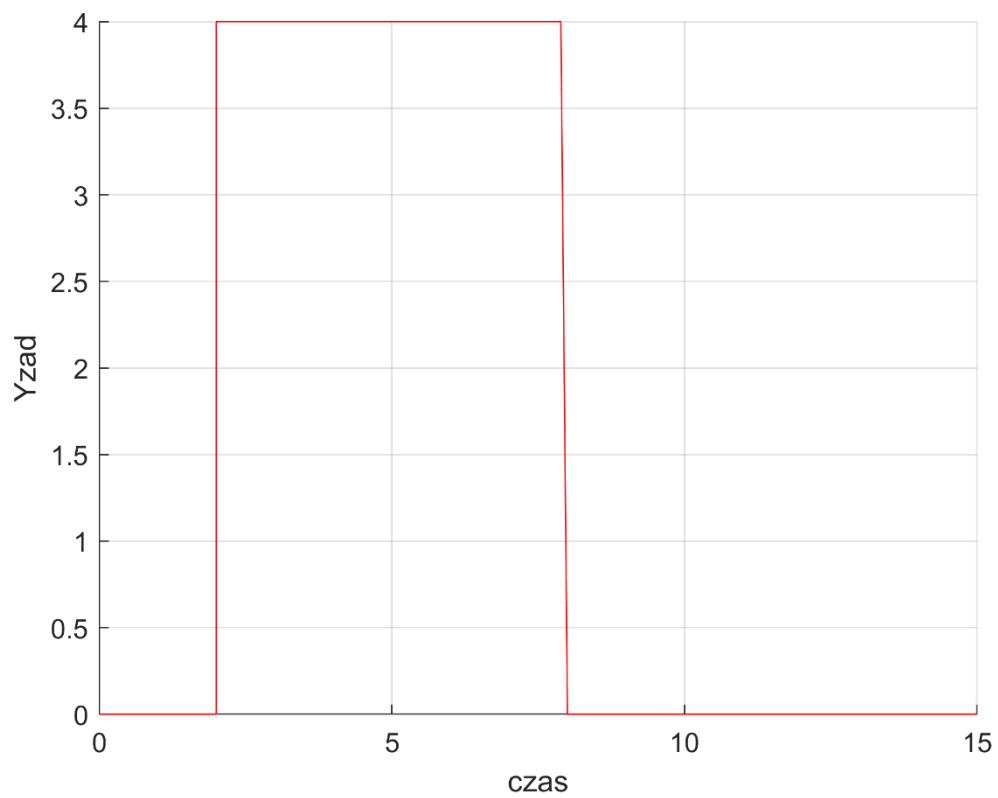
Dla  $s_b = -2$

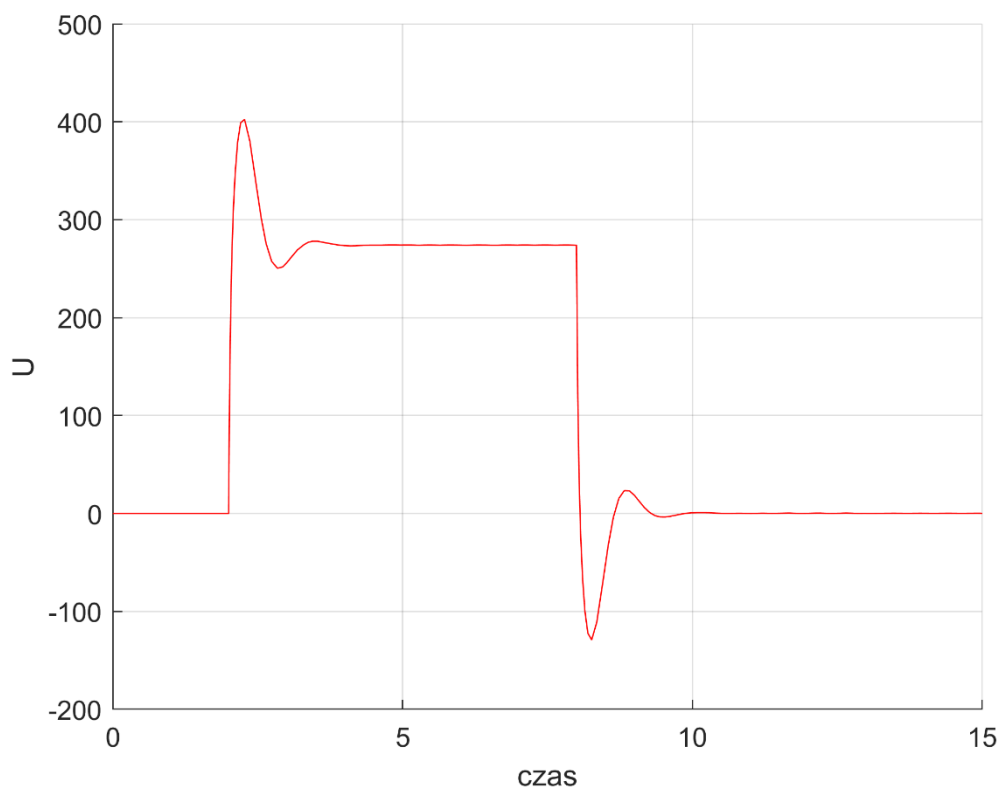
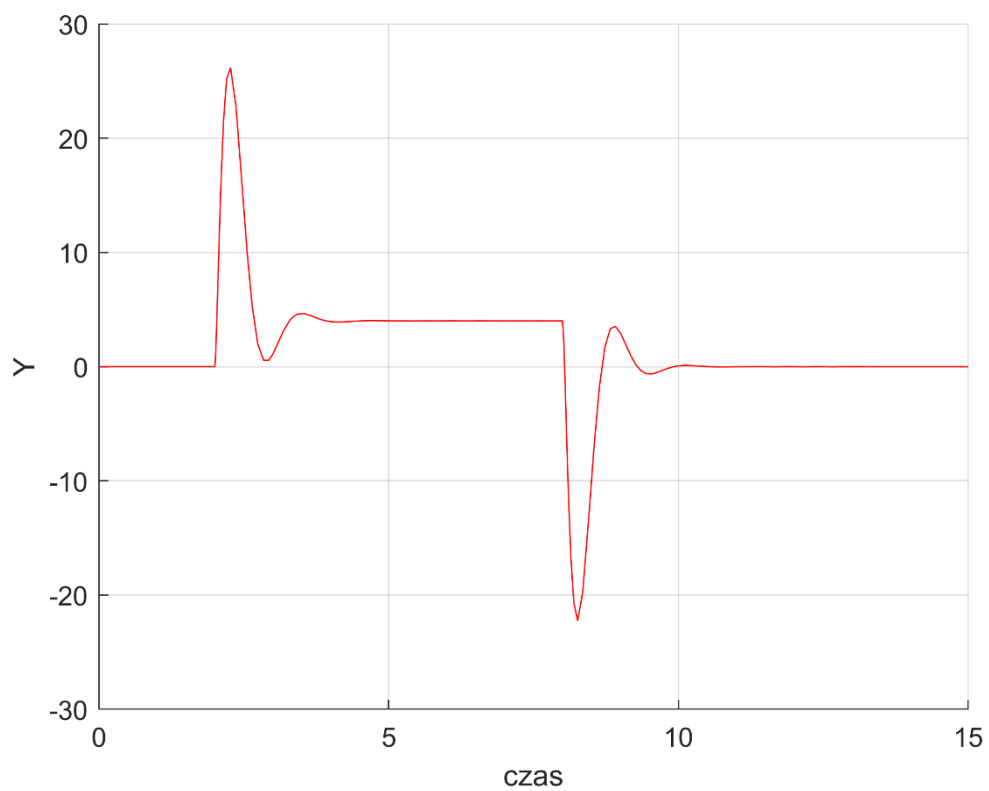


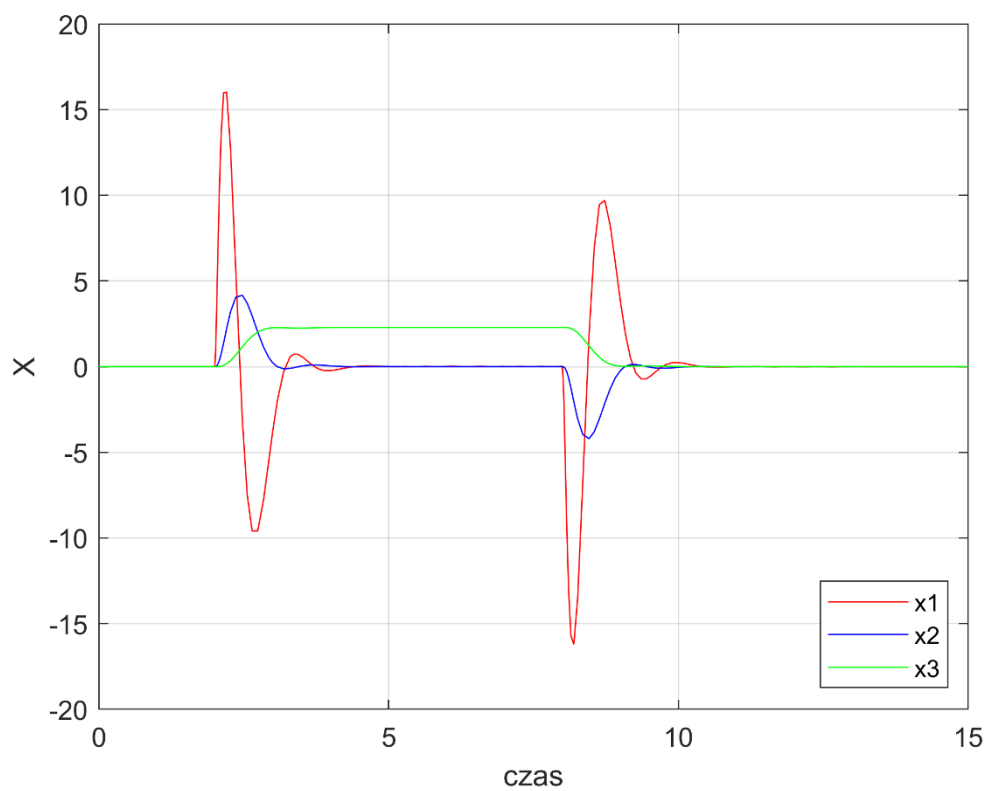




Dla  $s_b = -8$

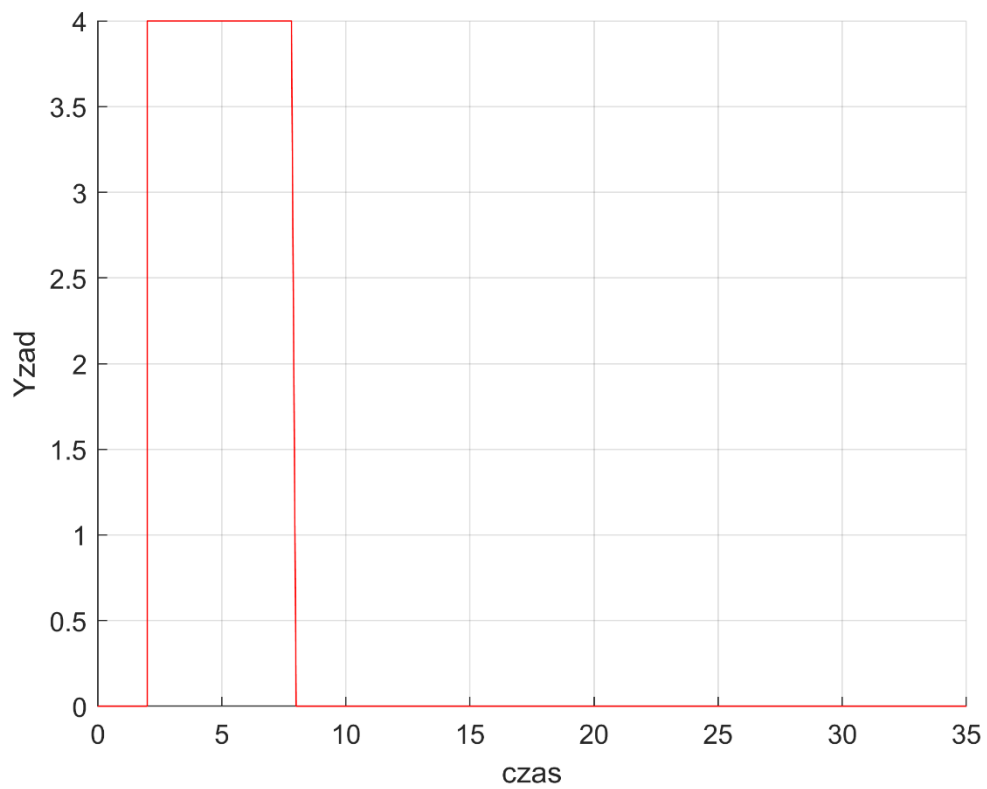




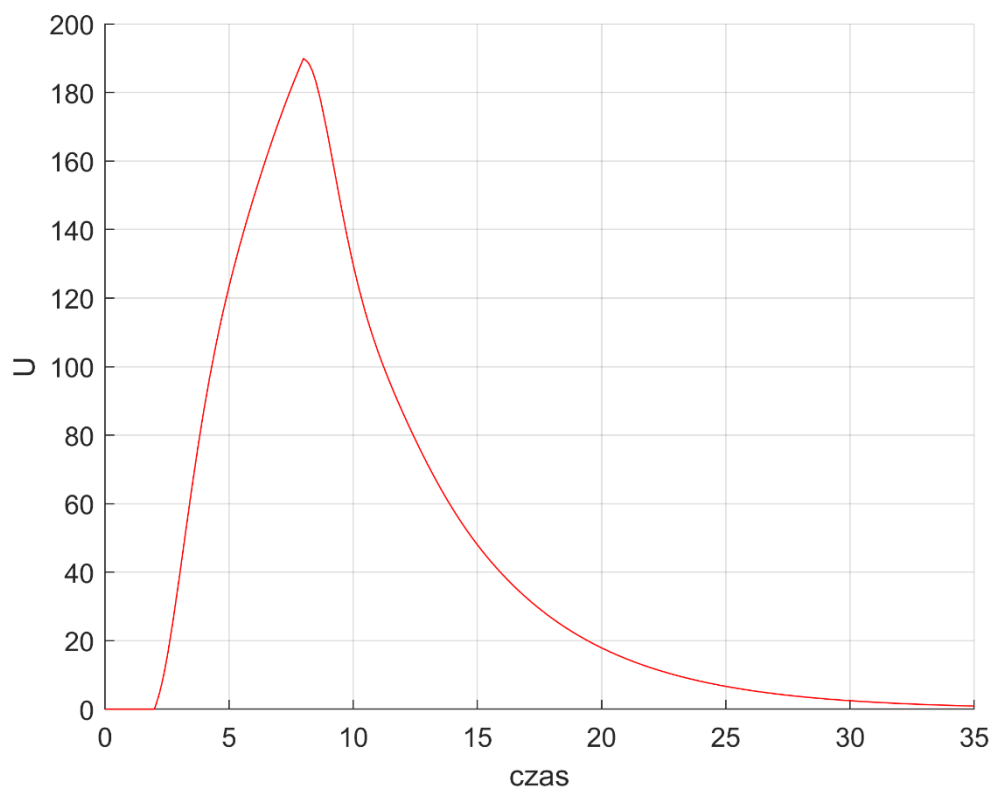
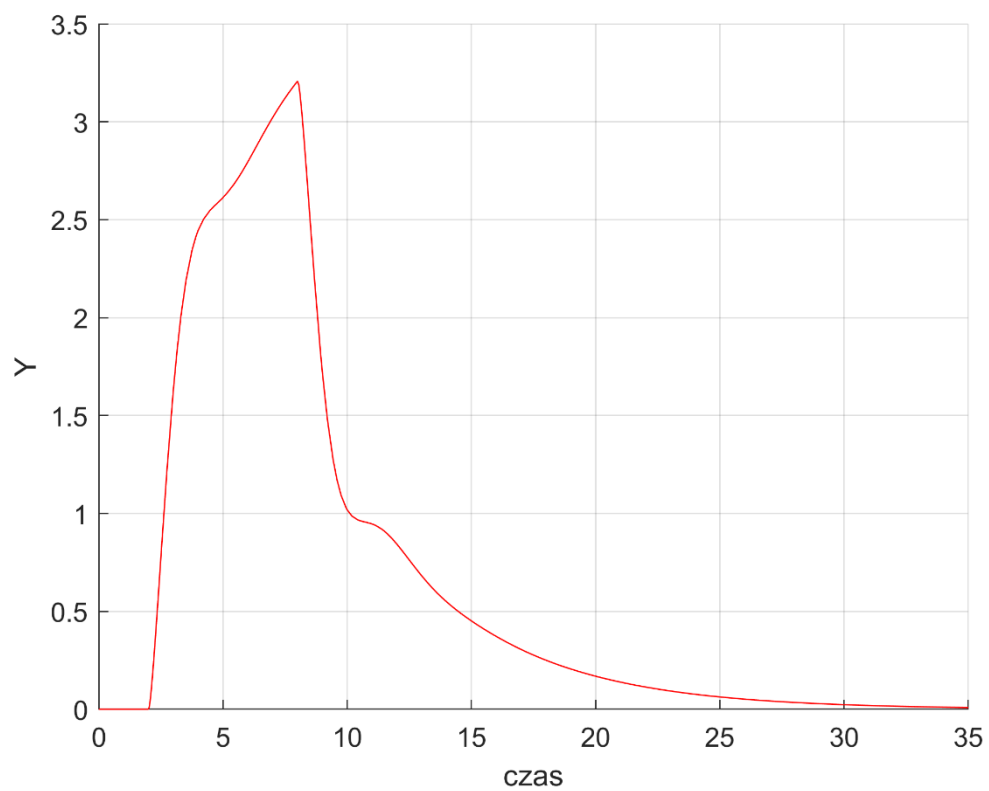


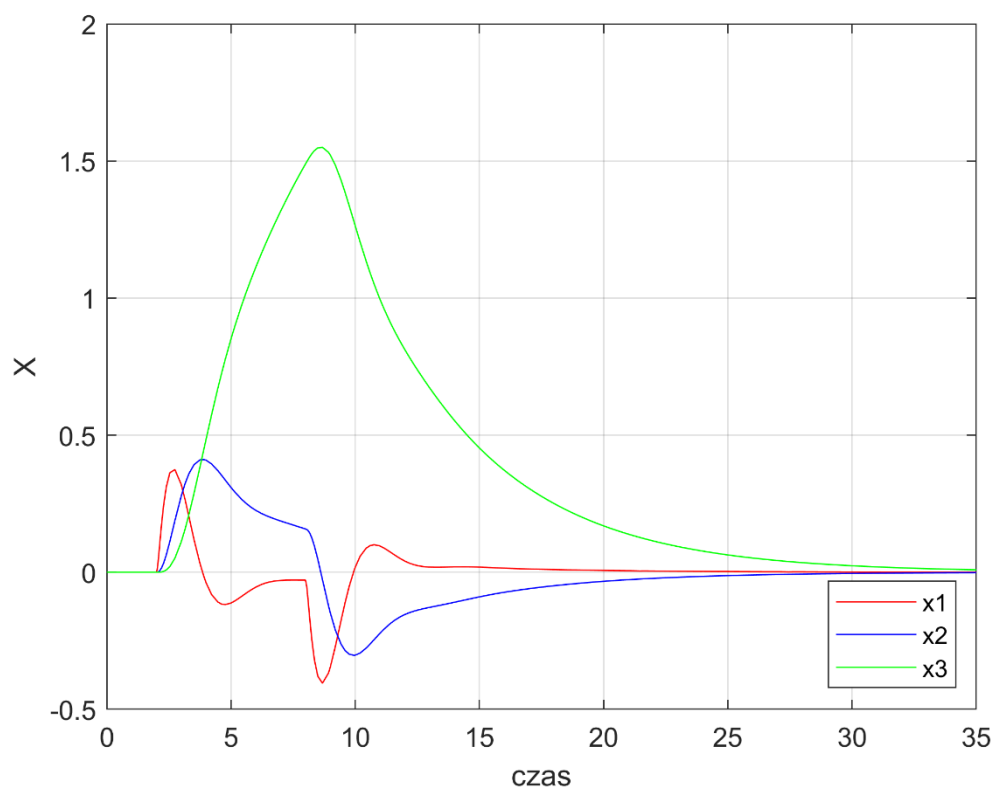
Następnie B zostało zwiększone o 50%

Dla  $s_b = -2$

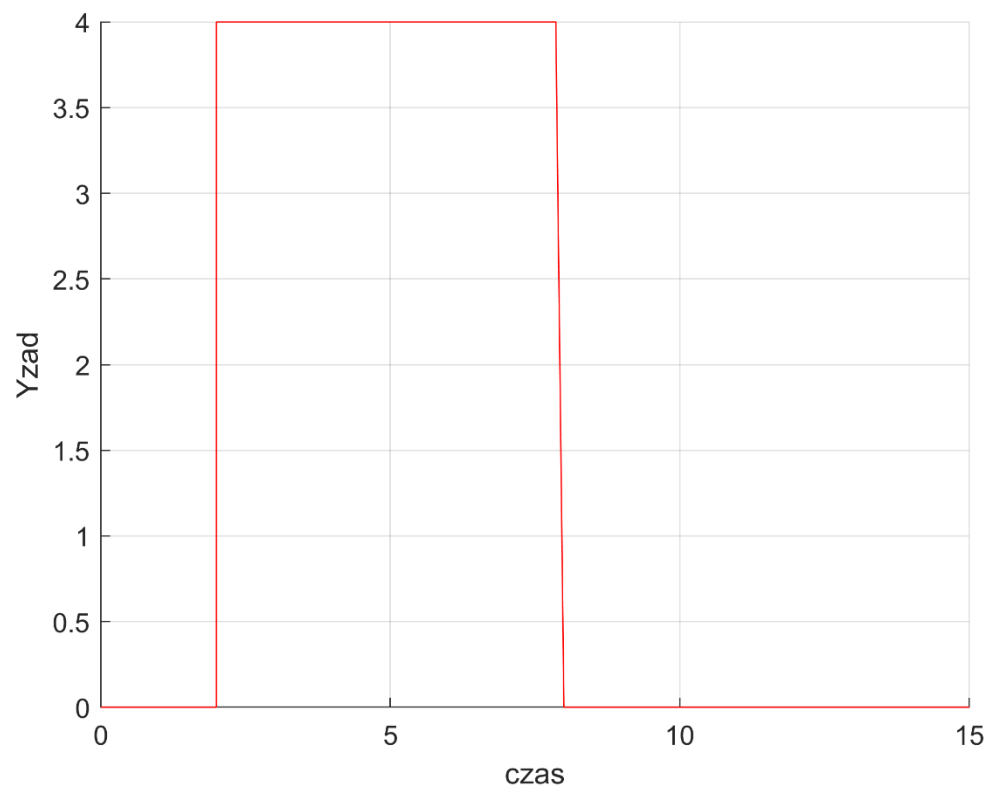


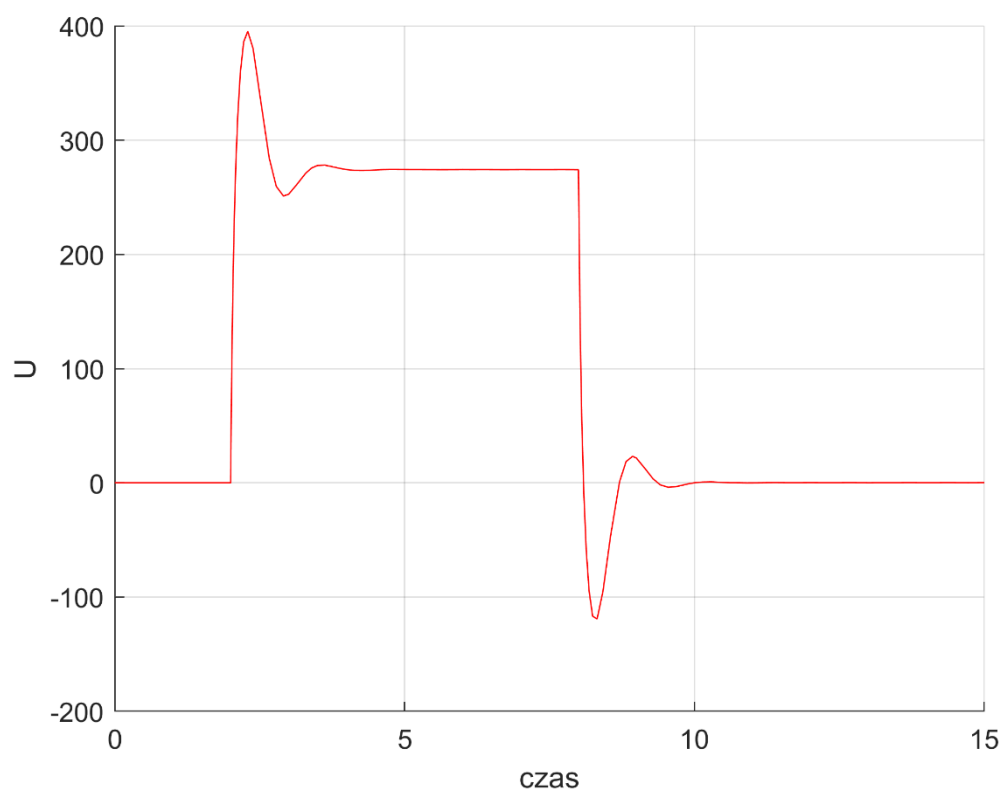
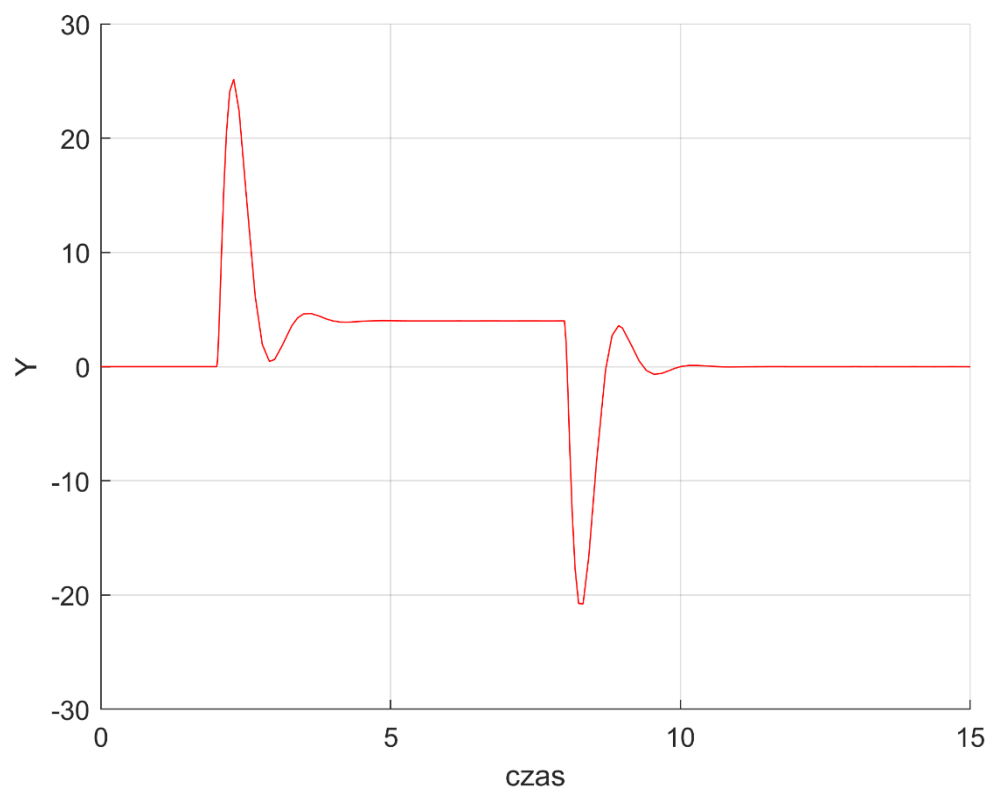


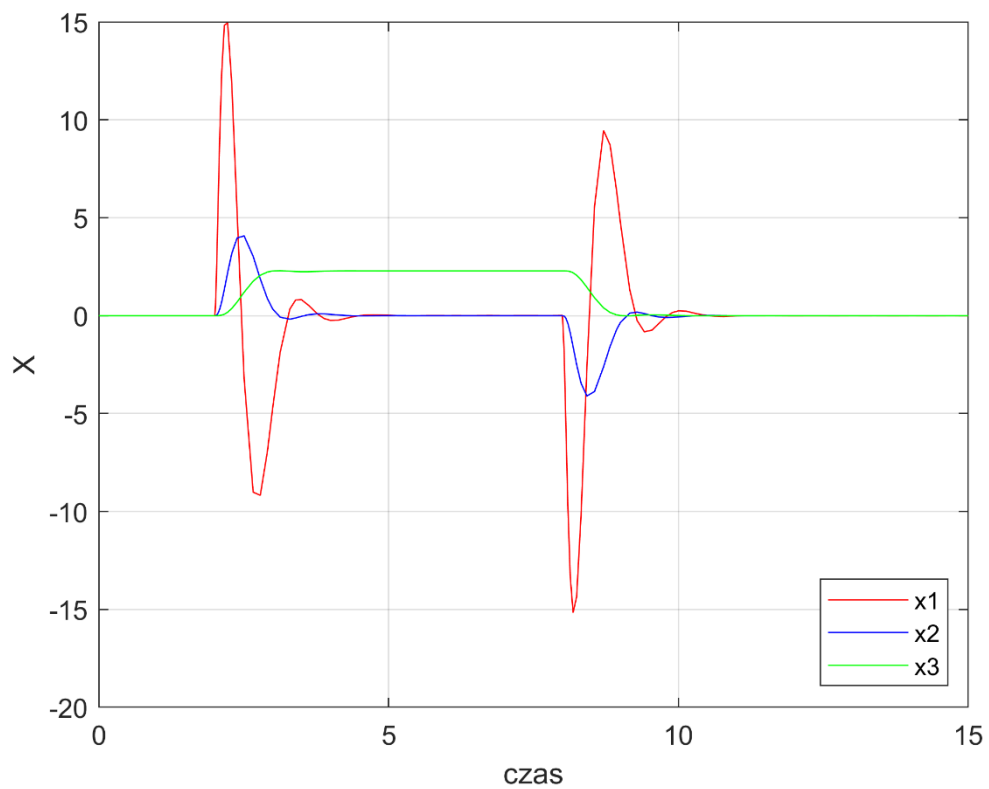




*Dla  $s_b = -8$*







Y dość średnio nadąża za wartością zadaną. Wraz ze wzrostem wartości zadanej, Y w przeregulowany sposób skacze, aby po czasie osiągnąć oczekiwaną wartość. Biegun szybszy dynamiczniej dopasowuje się od wolnego. Zwiększenie B nie wywołało widocznej zmiany dla szybkiego bieguna. Dla wolnego natomiast uspokoiło oscylacje, stabilniej dąży do zadanej wartości.